

Physique des sons et vibrations

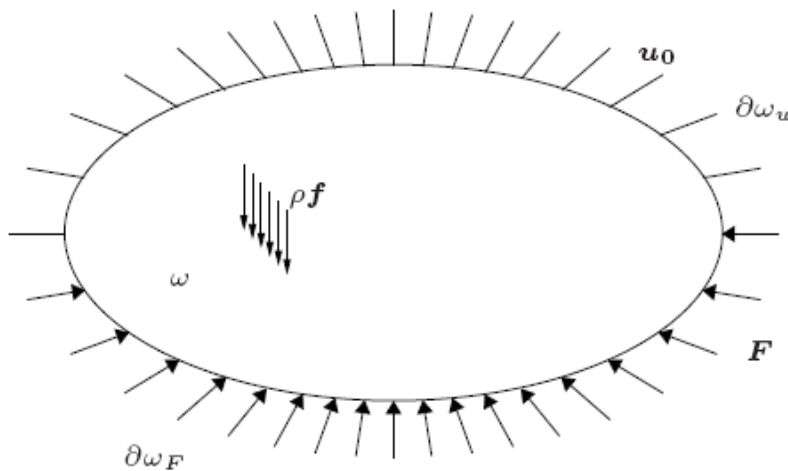
Viscoélasticité

A. Boukamel

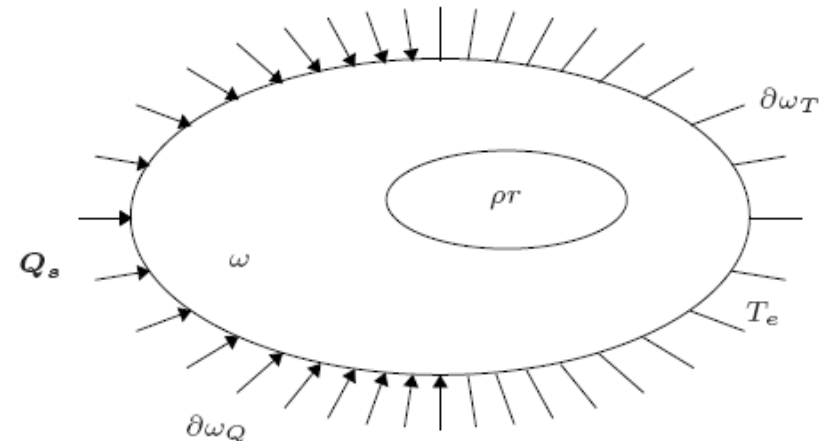
Octobre 2009

Rappels en thermodynamique des matériaux

- Position du problème



(a) Problème mécanique.



(b) Problème thermique.

- Problème thermo-mécanique:

- Equations de conservation
- Equations constitutives

Rappels en thermodynamique des matériaux

- Lois de conservation
 - Conservation de la masse

Enoncé 1. *Pour un système "milieu continu" fermé, il n'y a ni production ni perte de masse.*

$$\frac{d}{dt} \int_{\omega} \rho(\mathbf{x}, t) dv = 0$$



$$\frac{\partial \rho}{\partial t} + \operatorname{div}(\rho \mathbf{v}) = 0$$

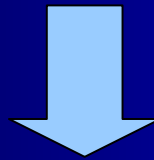
$$\frac{d\rho}{dt} + \rho \operatorname{div}(\mathbf{v}) = 0$$

Rappels en thermodynamique des matériaux

- Lois de conservation
 - Conservation de la quantité de mouvement

Enoncé 2. *La variation du tenseur cinétique est, pour un domaine matériel ω , égale à la somme des tenseurs des efforts extérieurs exercés sur ω .*

$$\begin{cases} \frac{d}{dt} \int_{\omega} \rho \mathbf{v} dv = \int_{\omega} \rho \mathbf{f} dv + \int_{\partial\omega} \boldsymbol{\sigma} \cdot \mathbf{n} ds \\ \frac{d}{dt} \int_{\omega} \mathbf{x} \wedge \rho \mathbf{v} dv = \int_{\omega} \mathbf{x} \wedge \rho \mathbf{f} dv + \int_{\partial\omega} \mathbf{x} \wedge (\boldsymbol{\sigma} \cdot \mathbf{n}) ds \end{cases}$$



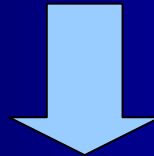
$$\rho \frac{d\mathbf{v}}{dt} = \text{div } \boldsymbol{\sigma} + \rho \mathbf{f} \quad \forall \mathbf{x} \in \omega$$

Rappels en thermodynamique des matériaux

- Lois de conservation
 - Conservation de l'énergie: *Premier Principe*

Enoncé 3. *La variation de l'énergie totale (énergie cinétique et énergie interne) est, pour un système matériel ω , égale à la somme du travail des efforts extérieurs exercés sur ω et de la quantité de chaleur apportée à ω .*

$$\frac{d}{dt} \int_{\omega} \rho \left(e + \frac{1}{2} |v|^2 \right) dv = \int_{\omega} \rho \mathbf{f} \cdot \mathbf{v} dv + \int_{\partial\omega} (\boldsymbol{\sigma} \cdot \mathbf{n}) \cdot \mathbf{v} ds + \int_{\omega} r dv - \int_{\partial\omega} \mathbf{q} \cdot \mathbf{n} ds$$



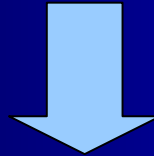
$$\boxed{\rho \frac{de}{dt} = \boldsymbol{\sigma} : \mathbf{D} + r - \operatorname{div} \mathbf{q}}$$

Rappels en thermodynamique des matériaux

- Le second principe
 - Bilan d'entropie:

Enoncé 4. *Il existe une fonction thermodynamique extensive, appelée **entropie** et une température absolue strictement positive notée T , telles que le taux de production d'entropie, pour un domaine matériel ω est toujours supérieur ou égal au taux de chaleur reçu divisé par la température.*

$$\frac{d}{dt} \int_{\omega} \rho s \, dv = - \int_{\partial\omega} \frac{\mathbf{q}}{T} \cdot \mathbf{n} \, ds + \int_{\omega} \frac{r}{T} \, dv + \int_{\omega} \rho \varpi_s^{int} \, dv$$

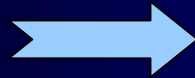


$$\rho \varpi_s^{int} = \rho \frac{ds}{dt} + \operatorname{div} \left(\frac{\mathbf{q}}{T} \right) - \frac{r}{T} \geq 0$$

Rappels en thermodynamique des matériaux

- Le second principe
 - Inégalité de Clausius-Duhem:

$$\Psi = e - T s.$$



$$\Phi = \sigma : D - \rho \left(\frac{d\Psi}{dt} + s \frac{dT}{dt} \right) - \frac{1}{T} \mathbf{q} \cdot \nabla T \geq 0$$

- Dissipation intrinsèque

$$\Phi_{int} = \sigma : D - \rho \left(\frac{d\Psi}{dt} + s \dot{T} \frac{dT}{dt} \right)$$

- Dissipation thermique

$$\Phi_{ther} = -\frac{1}{T} \mathbf{q} \cdot \nabla T$$

Rappels en thermodynamique des matériaux

- Cas de l'H.P.P.
 - Cinématique:

$$|u| \ll 1,$$

$$\|\nabla u\| \ll 1,$$

$$D(x, t) \simeq \dot{\varepsilon}(x, t) \quad \text{avec} \quad \varepsilon(x, t) = (\nabla u(x, t))_{sym}.$$

Lois de conservation

- Conservation de la masse :

$$\rho(x, t) \simeq \rho_0(x) (1 - \text{Trace}(\varepsilon(x, t))) = \rho_0(x) (1 - \text{div } u(x, t)),$$

- Conservation de la quantité de mouvement :

$$\rho_0 \frac{\partial^2 u}{\partial t^2} = \text{div } \sigma + \rho_0 f,$$

- Premier principe de la thermodynamique :

$$\rho_0 \dot{e} = \sigma : \dot{\varepsilon} + r - \text{div } q,$$

Rappels en thermodynamique des matériaux

- Cas de l'H.P.P.
 - Second principe:

- l'inégalité de Clausius-Duhem ou le second principe :

$$\Phi = \boldsymbol{\sigma} : \dot{\boldsymbol{\varepsilon}} - \rho_0 \left(\dot{\Psi} + s\dot{T} \right) - \frac{1}{T} \mathbf{q} \cdot \boldsymbol{\nabla} T \geq 0.$$

Rappels en thermodynamique des matériaux

- Lois constitutives

- Principe de l'état local:

Variables d'état:

(T, ε, χ_k)

Fonctions d'état:

$\Psi(T, \varepsilon, \chi_k)$ et $s(T, \varepsilon, \chi_k)$

- Dissipation:

Postulant l'existence d'un **pseudo-potentiel de dissipation**, fonction convexe positive de $(\dot{\varepsilon}, \dot{\chi}_k)$ telle que:

$$\Phi_{int} = \frac{\partial \phi}{\partial \dot{\varepsilon}} : \dot{\varepsilon} + \frac{\partial \phi}{\partial \dot{\chi}_k} \bullet \dot{\chi}_k$$

Rappels en thermodynamique des matériaux

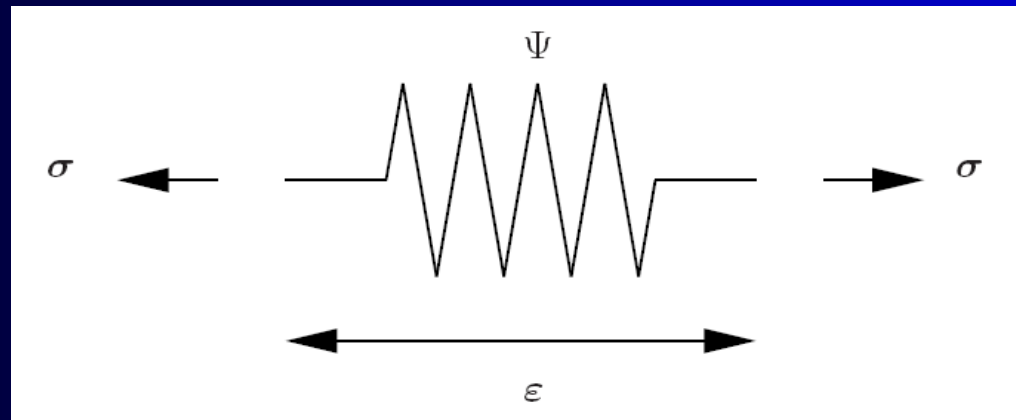
- Lois constitutives
 - Loi de comportement-lois complémentaires:

$$\left\{ \begin{array}{ll} s = -\rho_0 \frac{\partial \Psi}{\partial T} & \text{Loi d'état d'entropie} \\ \sigma = \rho_0 \frac{\partial \Psi}{\partial \varepsilon} + \frac{\partial \phi}{\partial \dot{\varepsilon}} & \text{Loi de comportement} \\ 0 = \rho_0 \frac{\partial \Psi}{\partial \dot{\varepsilon}} + \frac{\partial \phi}{\partial \dot{\chi}_k} & \text{Lois complémentaires} \end{array} \right.$$

Modèles rhéologiques en viscoélasticité

- Éléments rhéologiques simples

- Le ressort:



- En 3D (isotrope)

$$\rho_0 \Psi(\varepsilon) = \frac{1}{2} \left[\lambda (\text{Tr} \varepsilon)^2 + 2\mu \text{Tr} \varepsilon^2 \right]$$



$$\sigma = \rho_0 \frac{\partial \Psi}{\partial \varepsilon} = \lambda \text{Tr} \varepsilon \mathbf{1} + 2\mu \varepsilon$$

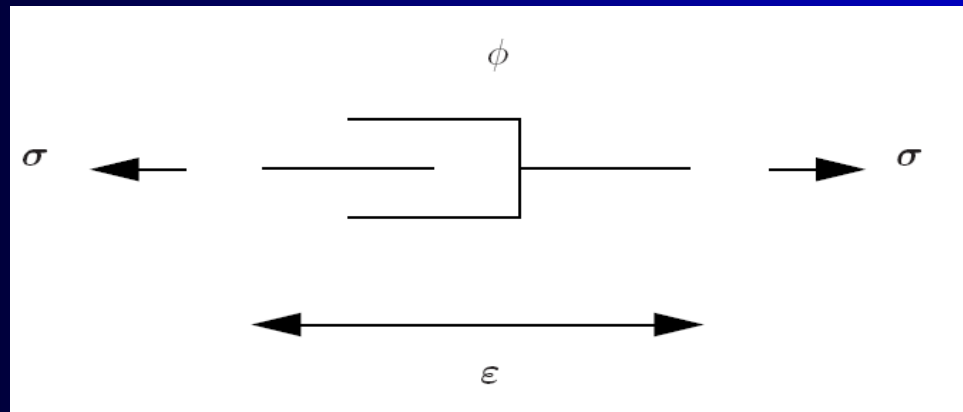
- En 1D

$$\rho_0 \Psi(\varepsilon) = \frac{1}{2} E \varepsilon^2, \quad \Rightarrow \quad \sigma = E \varepsilon$$

Modèles rhéologiques en viscoélasticité

- Éléments rhéologiques simples

- L'amortisseur:



- En 3D (isotrope)

$$\phi(\dot{\varepsilon}) = \frac{1}{2} \left[\Lambda (\text{Tr} \dot{\varepsilon})^2 + 2M \text{Tr} \dot{\varepsilon}^2 \right]$$



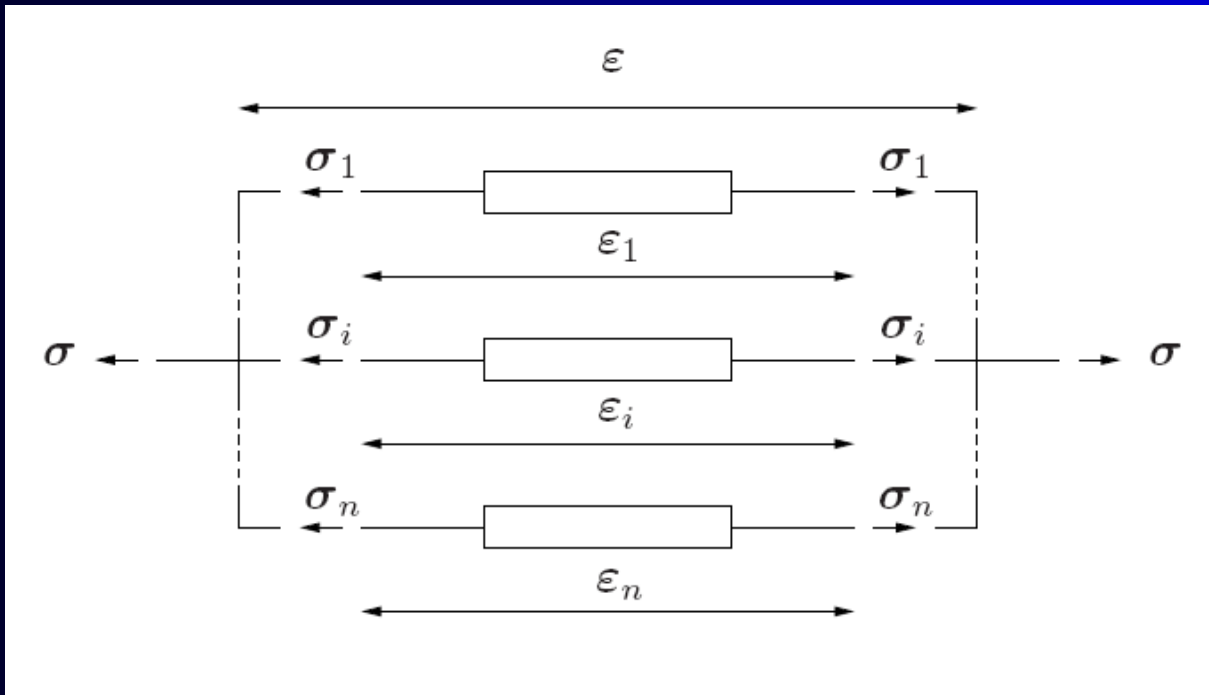
$$\sigma = \frac{\partial \phi}{\partial \dot{\varepsilon}} = \Lambda \text{Tr} \dot{\varepsilon} \mathbf{1} + 2M \dot{\varepsilon}$$

- En 1D

$$\phi(\varepsilon) = \frac{1}{2} \eta \dot{\varepsilon}^2, \quad \Rightarrow \quad \sigma = \eta \dot{\varepsilon}$$

Modèles rhéologiques en viscoélasticité

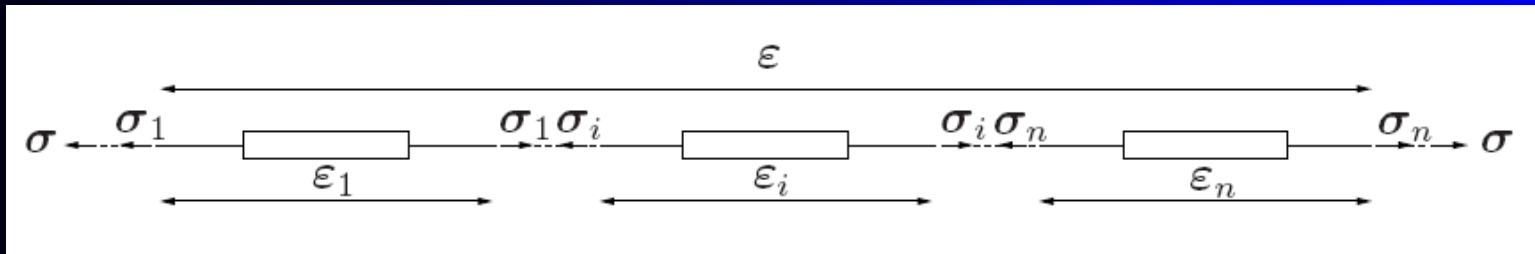
- Associations d'éléments
 - En parallèle:



$$\varepsilon = \varepsilon_i \quad \forall i = 1, n \quad \text{et} \quad \sigma = \sum_{i=1}^n \sigma_i$$

Modèles rhéologiques en viscoélasticité

- Associations d'éléments
 - En série:

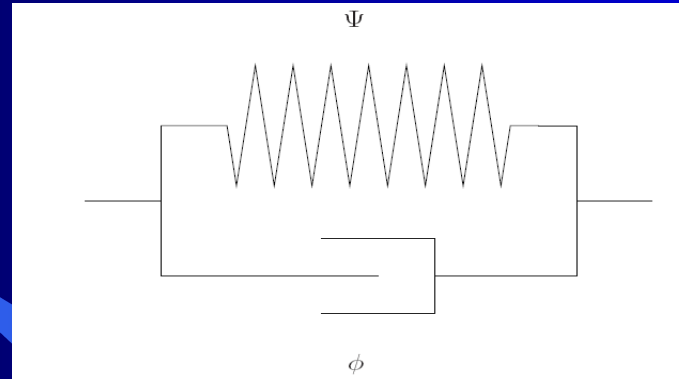


$$\sigma = \sigma_i \quad \forall i = 1, n \quad \text{et} \quad \epsilon = \sum_{i=1}^n \epsilon_i$$

Modèles rhéologiques en viscoélasticité

- Solide viscoélastique de Kelvin-Voigt

- Modèle:



- En 3D (isotrope)

$$\begin{cases} \rho_0 \Psi(\varepsilon) = \frac{1}{2} \left[\lambda (\text{Tr} \varepsilon)^2 + 2\mu \text{Tr} \varepsilon^2 \right] \\ \phi(\dot{\varepsilon}) = \frac{1}{2} \left[\Lambda (\text{Tr} \dot{\varepsilon})^2 + 2M \text{Tr} \dot{\varepsilon}^2 \right] \end{cases}$$



$$\sigma = \lambda (\text{Tr} \varepsilon + \tau \dot{\varepsilon}) \mathbf{1} + 2\mu (\varepsilon + \tau \dot{\varepsilon})$$

$$\tau = \frac{\Lambda}{\lambda} = \frac{M}{\mu}$$

- En 1D

$$\begin{cases} \rho_0 \Psi(\varepsilon) = \frac{1}{2} E \varepsilon^2 \\ \phi(\dot{\varepsilon}) = \frac{1}{2} \eta \dot{\varepsilon}^2 \end{cases}$$



$$\sigma = E \varepsilon + \eta \dot{\varepsilon} = E (\varepsilon + \tau \dot{\varepsilon})$$

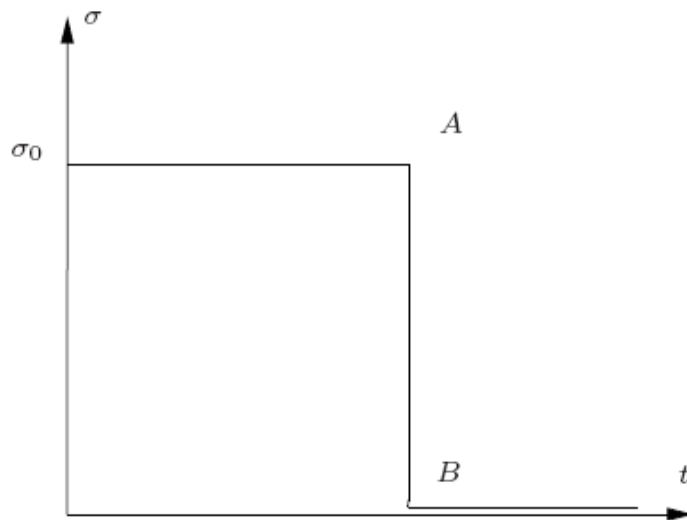
$$\text{avec } \tau = \frac{\eta}{E}$$

Modèles rhéologiques en viscoélasticité

- Solide viscoélastique de Kelvin-Voigt
 - Réponse à un essai de fluage/recouvrance (en 1D)

$$\sigma(t) = \begin{cases} \sigma_0 & \text{si } 0 \leq t \leq T \\ 0 & \text{si } t > T \end{cases} \Rightarrow$$

?



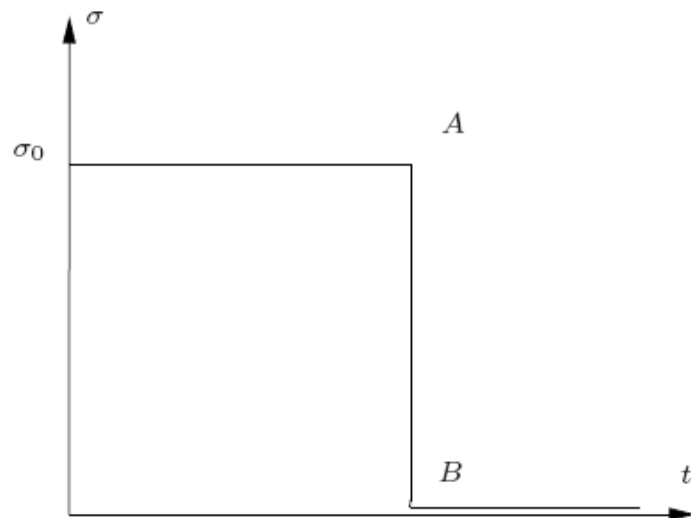
(a) Sollicitation.

?

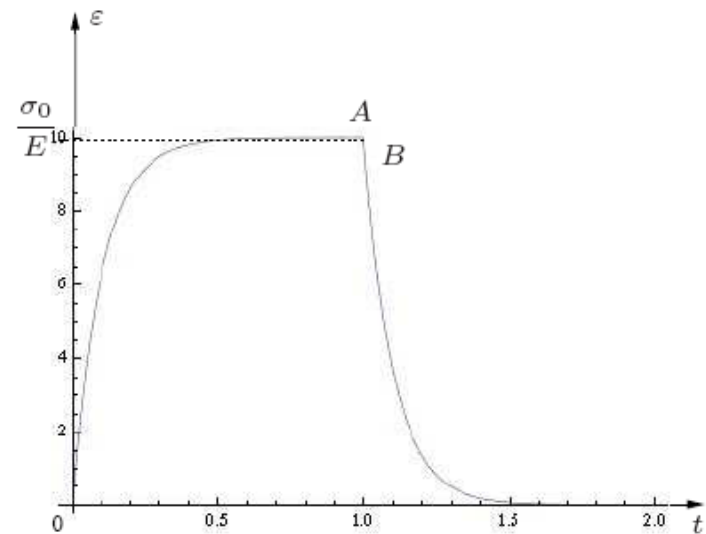
Modèles rhéologiques en viscoélasticité

- Solide viscoélastique de Kelvin-Voigt
 - Réponse à un essai de fluage/recouvrance (en 1D)

$$\sigma(t) = \begin{cases} \sigma_0 & \text{si } 0 \leq t \leq T \\ 0 & \text{si } t > T \end{cases} \Rightarrow \varepsilon(t) = \begin{cases} \frac{\sigma_0}{E} \left[1 - \exp\left(-\frac{t}{\tau}\right) \right] & \text{si } 0 \leq t \leq T \\ \varepsilon(T) \exp\left(-\frac{t-T}{\tau}\right) & \text{si } t > T \end{cases}$$



(a) Sollicitation.

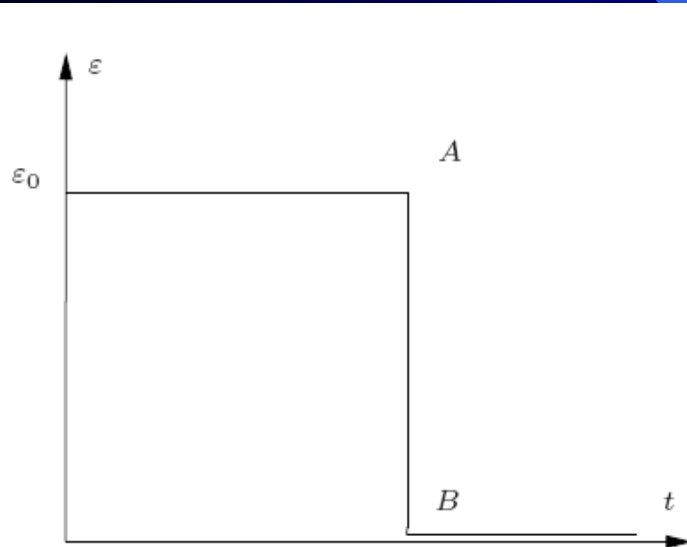


(b) Réponse.

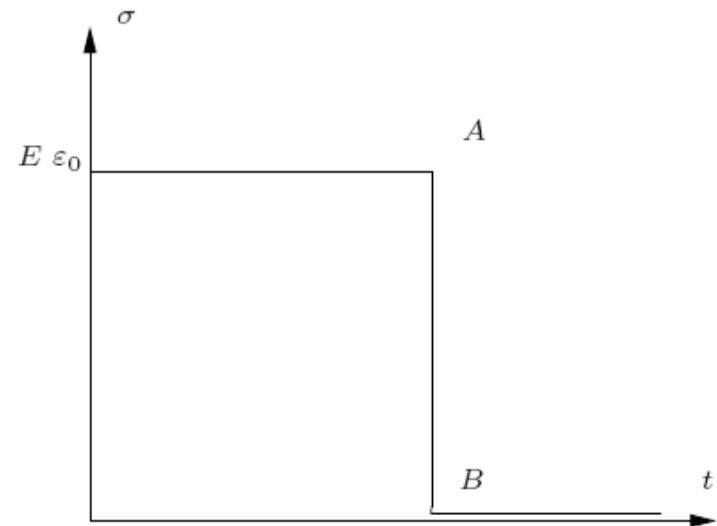
Modèles rhéologiques en viscoélasticité

- Solide viscoélastique de Kelvin-Voigt
 - Réponse à un essai de relaxation/effacement

$$\varepsilon(t) = \begin{cases} \varepsilon_0 & \text{si } 0 \leq t \leq T \\ 0 & \text{si } t > T \end{cases} \Rightarrow \sigma(t) = \begin{cases} \sigma_0 & \text{si } 0 \leq t \leq T \\ 0 & \text{si } t > T \end{cases}$$



(a) Sollicitation.



(b) Réponse.

Modèles rhéologiques en viscoélasticité

- Solide viscoélastique de Kelvin-Voigt
 - Réponse à une sollicitation harmonique

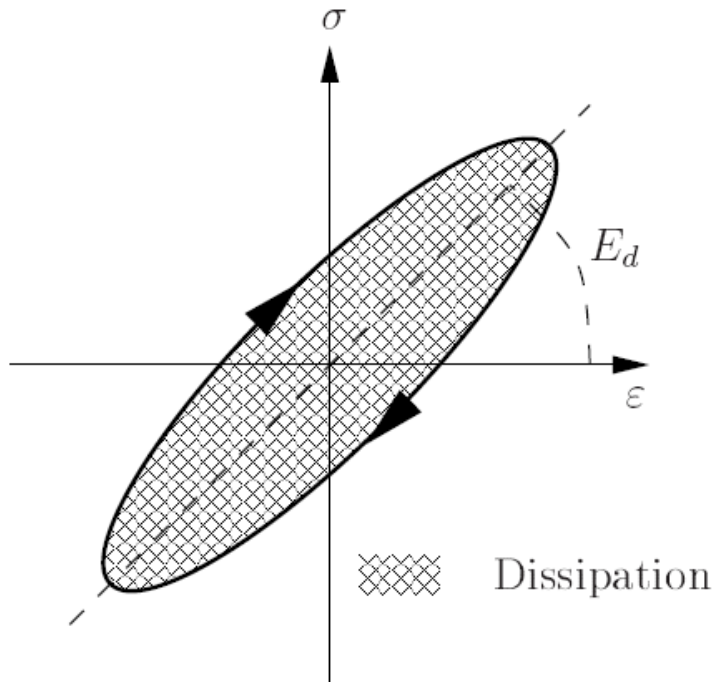
$$\boxed{\varepsilon(t) = \varepsilon_0 \mathcal{R}_e [\exp(j\omega t)] \quad \Longrightarrow \quad \sigma(t) = E_d \varepsilon_0 \mathcal{R}_e [\exp j(\omega t + \delta)]}$$

?

Modèles rhéologiques en viscoélasticité

- Solide viscoélastique de Kelvin-Voigt
 - Réponse à une sollicitation harmonique

$$\varepsilon(t) = \varepsilon_0 \mathcal{R}_e [\exp(j\omega t)] \implies \sigma(t) = E_d \varepsilon_0 \mathcal{R}_e [\exp j(\omega t + \delta)]$$

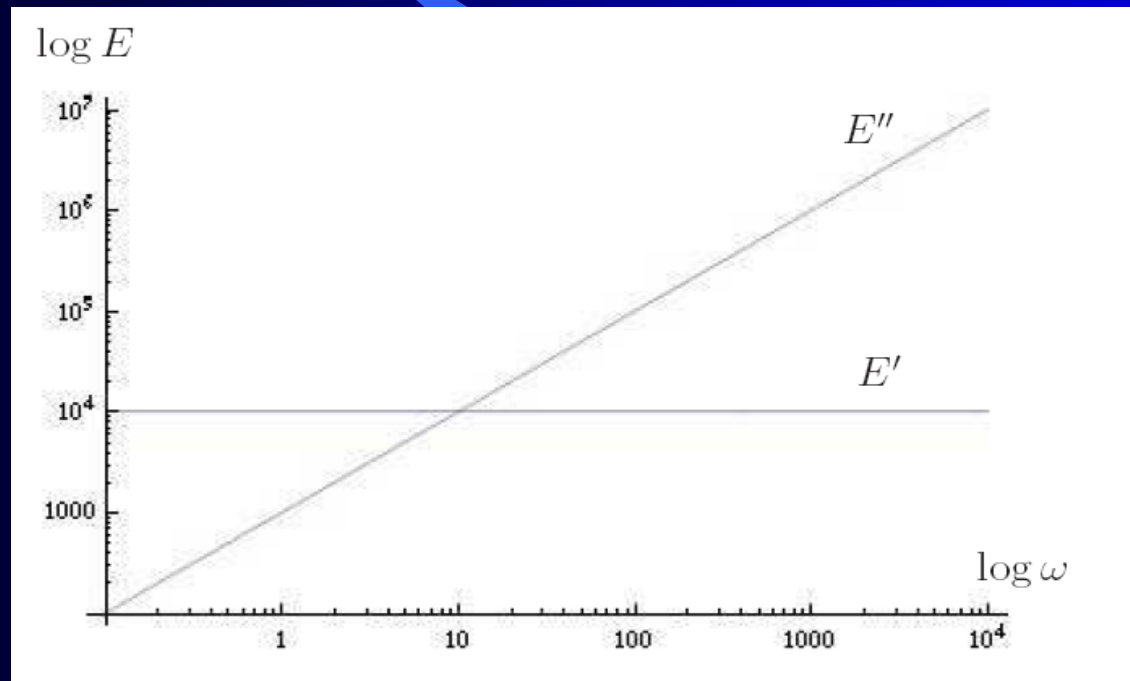


$$\begin{cases} \text{Module dynamique: } E_d = \sqrt{E^2 + \eta^2 \omega^2} \\ \text{Angle de perte } \delta = \arctan\left(\frac{\eta \omega}{E}\right) \end{cases}$$

Modèles rhéologiques en viscoélasticité

- Solide viscoélastique de Kelvin-Voigt
 - Module complexe

$$\text{Module complexe : } \bar{E} = \frac{\sigma_0}{\varepsilon_0} \exp(j\delta) = E' + j E'' \quad \left\{ \begin{array}{l} \text{Module de stockage: } E' = E_d \cos \delta = E \\ \text{Module de perte} \quad E'' = E_d \sin \delta = \eta \omega \end{array} \right.$$



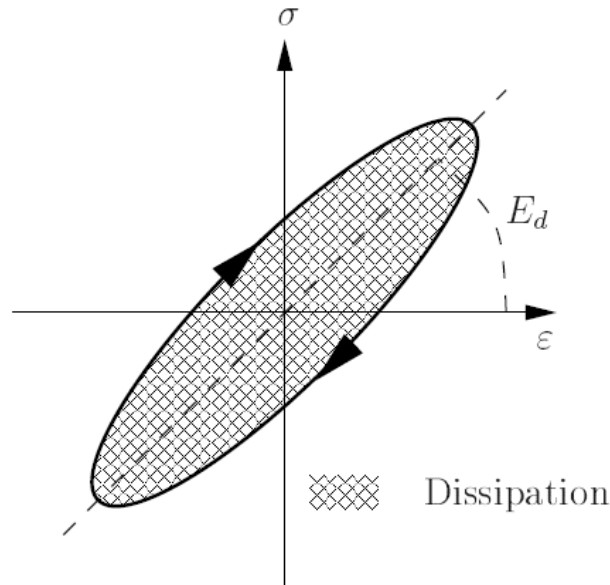
Modèles rhéologiques en viscoélasticité

- Solide viscoélastique de Kelvin-Voigt
 - Dissipation hystérétique

L'énergie dissipée au cours d'un cycle:

$$\Delta W = \oint \Phi_{int} dt = \oint \frac{\partial \phi}{\partial \dot{\varepsilon}} \cdot \dot{\varepsilon} dt = \oint \eta \dot{\varepsilon} d\varepsilon = \oint (\sigma - E\varepsilon) d\varepsilon = \oint \sigma d\varepsilon$$

$$\Delta W = \oint \sigma \cdot \dot{\varepsilon} dt = \pi \eta \omega \varepsilon_0^2$$

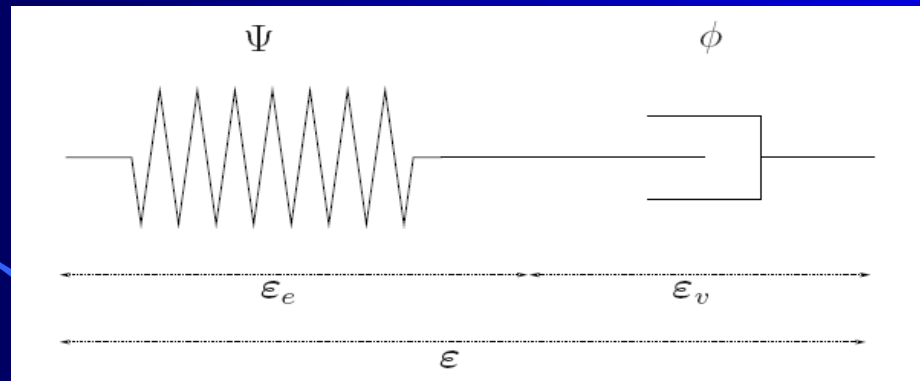


$$W = \frac{1}{2} E \varepsilon_0^2$$

Modèles rhéologiques en viscoélasticité

- Modèle de Maxwell

- Modèle:



- En 3D (isotrope)

$$\begin{cases} \rho_0 \Psi(\epsilon, \epsilon_v) = \frac{1}{2} \left[\lambda (\text{Tr}(\epsilon - \epsilon_v))^2 + 2\mu \text{Tr}(\epsilon - \epsilon_v)^2 \right] \\ \phi(\dot{\epsilon}_v) = \frac{1}{2} \left[\Lambda (\text{Tr} \dot{\epsilon}_v)^2 + 2M \text{Tr} \dot{\epsilon}_v^2 \right] \end{cases}$$

$$\sigma = \lambda \text{Tr}(\epsilon - \epsilon_v) \mathbf{1} + 2\mu (\epsilon - \epsilon_v) = \Lambda \text{Tr} \dot{\epsilon}_v \mathbf{1} + 2M \dot{\epsilon}_v$$

- En 1D

$$\begin{cases} \rho_0 \Psi(\epsilon, \epsilon_v) = \frac{1}{2} E (\epsilon - \epsilon_v)^2 \\ \phi(\dot{\epsilon}_v) = \frac{1}{2} \eta \dot{\epsilon}_v^2 \end{cases}$$



$$\sigma = E (\epsilon - \epsilon_v) = \eta \dot{\epsilon}_v$$

$$E \dot{\epsilon} = \dot{\sigma} + \frac{\sigma}{\tau} \quad \text{avec} \quad \tau = \frac{\eta}{E}$$

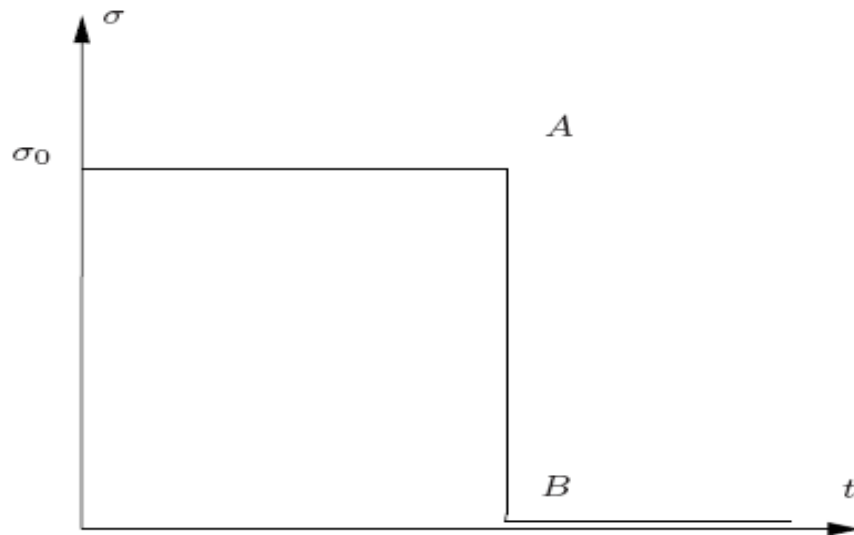
Modèles rhéologiques en viscoélasticité

- Modèle de Maxwell

- Réponse à un essai de fluage/recouvrance (en 1D)

$$\sigma(t) = \begin{cases} \sigma_0 & \text{si } 0 \leq t \leq T \\ 0 & \text{si } t > T \end{cases} \Rightarrow$$

?



(a) Sollicitation.

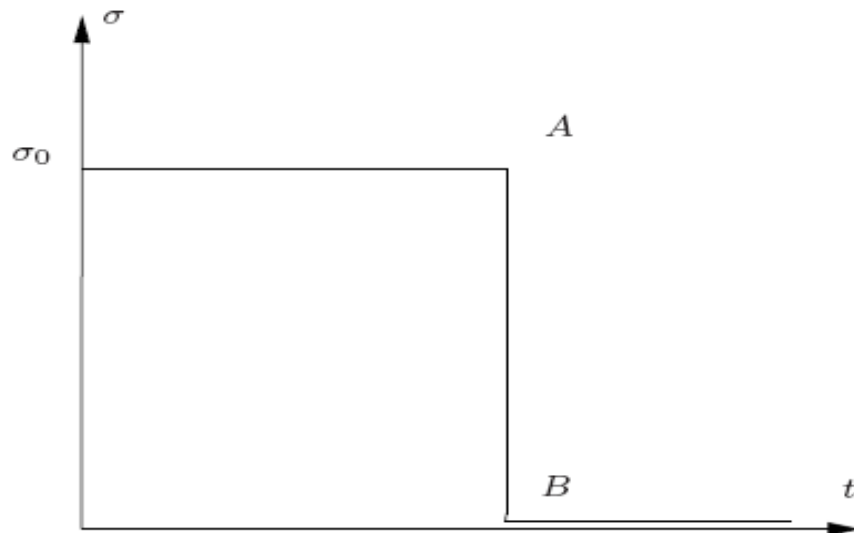
?

Modèles rhéologiques en viscoélasticité

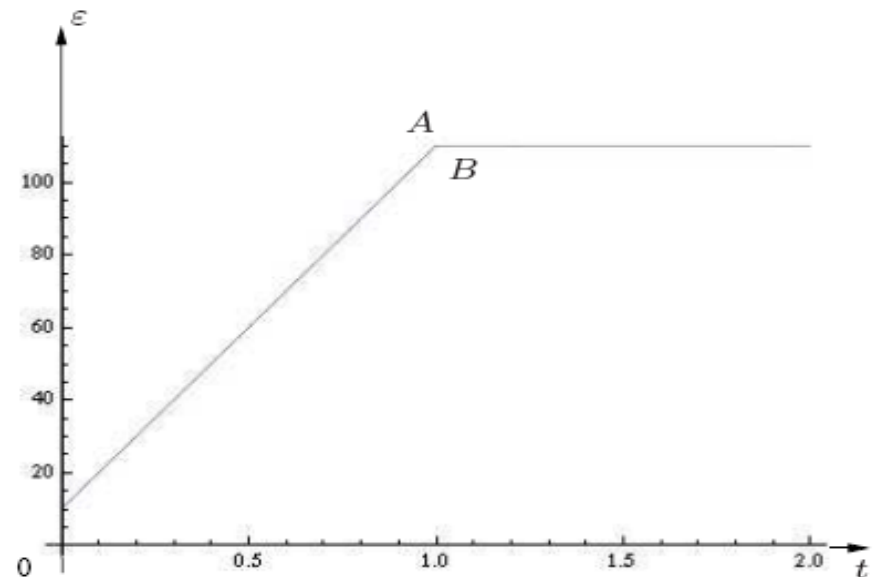
- Modèle de Maxwell

- Réponse à un essai de fluage/recouvrance (en 1D)

$$\sigma(t) = \begin{cases} \sigma_0 & \text{si } 0 \leq t \leq T \\ 0 & \text{si } t > T \end{cases} \quad \Rightarrow \quad \varepsilon(t) = \begin{cases} \frac{\sigma_0}{E} \left(1 + \frac{t}{\tau}\right) & \text{si } 0 \leq t \leq T \\ \varepsilon(T) & \text{si } t > T \end{cases}$$



(a) Sollicitation.



(b) Réponse.

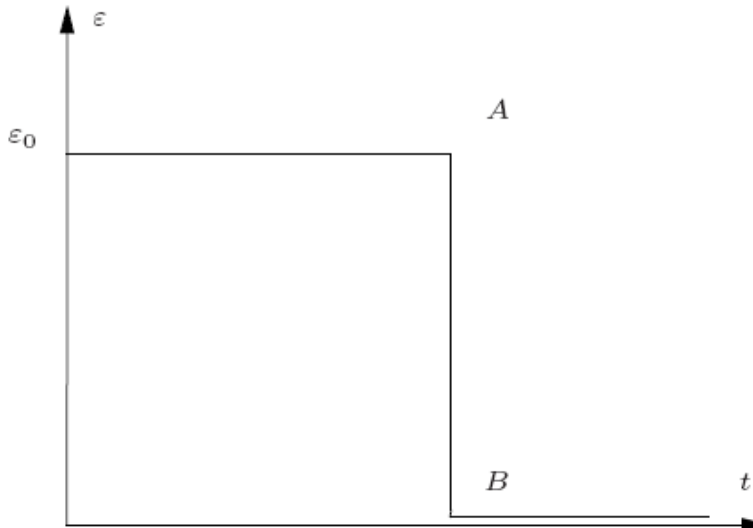
Modèles rhéologiques en viscoélasticité

- Modèle de Maxwell

- Réponse à un essai de relaxation/effacement

$$\varepsilon(t) = \begin{cases} \varepsilon_0 & \text{si } 0 \leq t \leq T \\ 0 & \text{si } t > T \end{cases}$$

?



(a) Sollicitation.

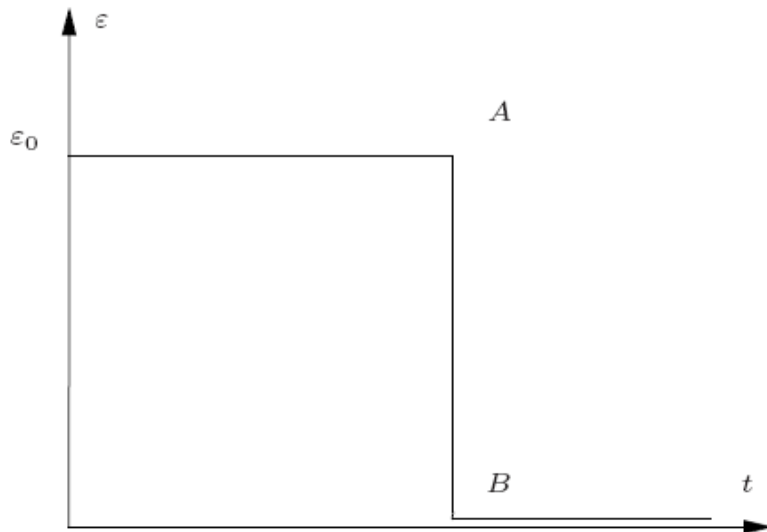
?

Modèles rhéologiques en viscoélasticité

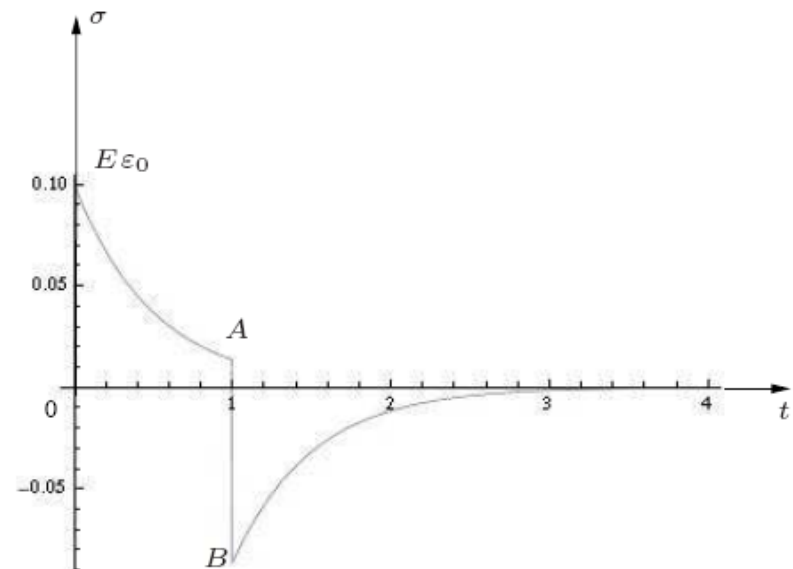
- Modèle de Maxwell

- Réponse à un essai de relaxation/effacement

$$\varepsilon(t) = \begin{cases} \varepsilon_0 & \text{si } 0 \leq t \leq T \\ 0 & \text{si } t > T \end{cases} \Rightarrow \sigma(t) = \begin{cases} E\varepsilon_0 \exp\left(-\frac{t}{\tau}\right) & \text{si } 0 \leq t \leq T \\ E\varepsilon_0 \left[\exp\left(-\frac{T}{\tau}\right) - 1 \right] \exp\left(-\frac{t-T}{\tau}\right) & \text{si } t > T \end{cases}$$



(a) Sollicitation.



(b) Réponse.

Modèles rhéologiques en viscoélasticité

- Modèle de Maxwell
 - Réponse à une sollicitation harmonique

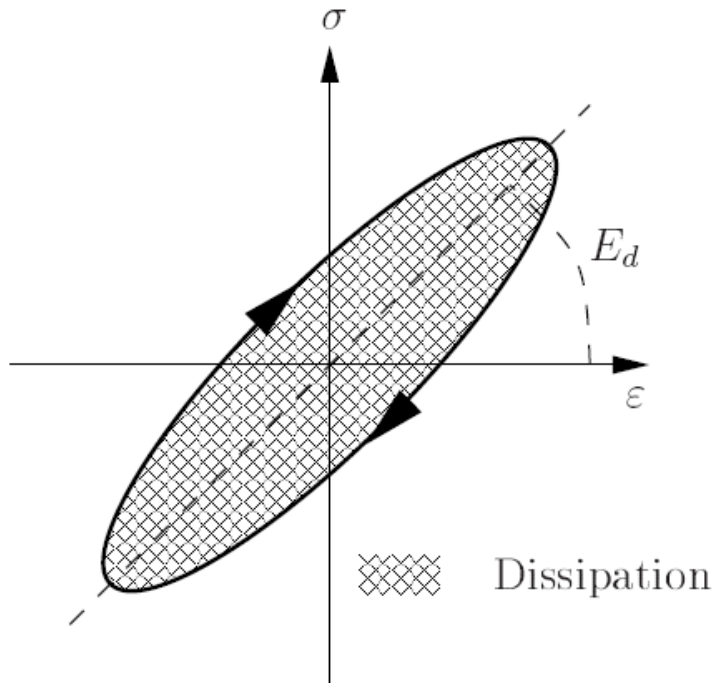
$$\boxed{\varepsilon(t) = \varepsilon_0 \mathcal{R}_e [\exp(j\omega t)] \implies \sigma(t) = E_d \varepsilon_0 \mathcal{R}_e [\exp j(\omega t + \delta)]}$$

?

Modèles rhéologiques en viscoélasticité

- Modèle de Maxwell
 - Réponse à une sollicitation harmonique

$$\varepsilon(t) = \varepsilon_0 \mathcal{R}_e [\exp(j\omega t)] \implies \sigma(t) = E_d \varepsilon_0 \mathcal{R}_e [\exp j(\omega t + \delta)]$$

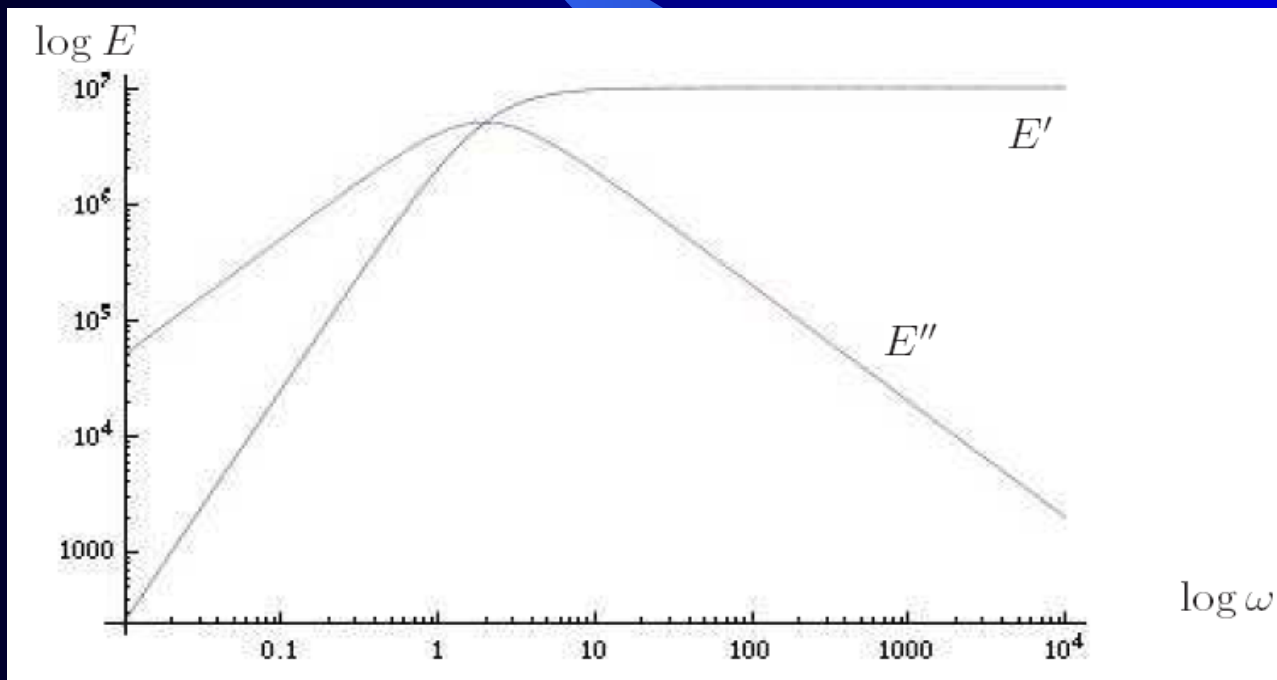


$$\left\{ \begin{array}{ll} \text{Module dynamique:} & E_d = \frac{E \eta \omega}{\sqrt{E^2 + \eta^2 \omega^2}} \\ \text{Angle de perte} & \delta = \arctan \left(\frac{E}{\eta \omega} \right) \end{array} \right.$$

Modèles rhéologiques en viscoélasticité

- Modèle de Maxwell
 - Module complexe

$$\text{Module complexe : } \bar{E} = \frac{\sigma_0}{\varepsilon_0} \exp(j\delta) = E' + j E'' \quad \left\{ \begin{array}{l} \text{Module de stockage: } E' = \frac{E \eta^2 \omega^2}{E^2 + \eta^2 \omega^2} \\ \text{Module de perte } E'' = \frac{E^2 \eta \omega}{E^2 + \eta^2 \omega^2} \end{array} \right.$$



Modèles rhéologiques en viscoélasticité

- Modèle de Maxwell
 - Dissipation hystérétique

$$\Delta W = \oint \Phi_{int} dt = \oint \frac{\partial \phi}{\partial \dot{\epsilon}_v} \cdot \dot{\epsilon}_v dt = \oint \eta \dot{\epsilon}_v \cdot \dot{\epsilon}_v dt = \oint \frac{\sigma^2}{\eta} dt$$

$$\Delta W = \frac{E^2 \eta \omega}{E^2 + \eta^2 \omega^2} \pi \epsilon_0^2$$

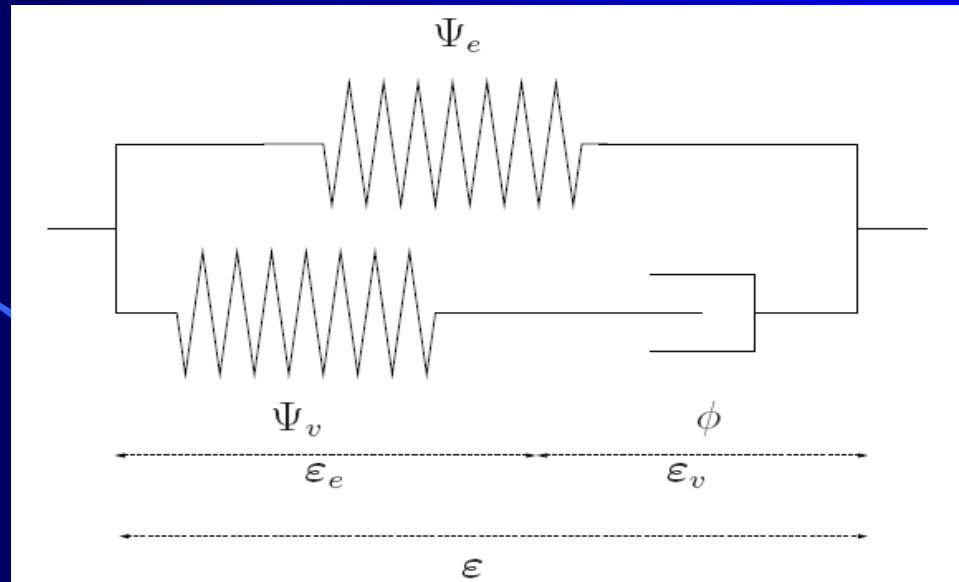
- Energie stockée

$$W = \frac{E \eta^2 \omega^2}{2 (E^2 + \eta^2 \omega^2)} \epsilon_0^2$$

Modèles rhéologiques en viscoélasticité

- Modèle de Zener

- Modèle:



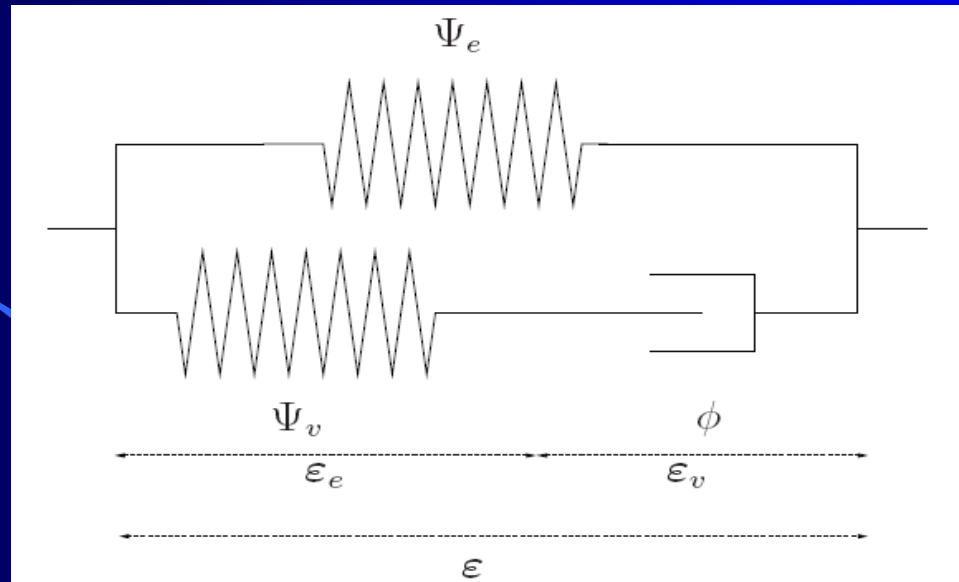
- En 3D (isotrope)

$$\left\{ \begin{array}{l} \rho_0 \Psi(\epsilon, \epsilon_v) = \rho_0 \Psi_e(\epsilon) + \rho_0 \Psi_v(\epsilon, \epsilon_v) \\ = \frac{1}{2} \left[\lambda_e (\text{Tr} \epsilon)^2 + 2\mu_e \text{Tr} \epsilon^2 \right] + \frac{1}{2} \left[\lambda_v (\text{Tr}(\epsilon - \epsilon_v))^2 + 2\mu_v \text{Tr}(\epsilon - \epsilon_v)^2 \right] \\ \phi(\dot{\epsilon}_v) = \frac{1}{2} \left[\Lambda (\text{Tr} \dot{\epsilon}_v)^2 + 2M \text{Tr} \dot{\epsilon}_v^2 \right] \end{array} \right.$$

Modèles rhéologiques en viscoélasticité

- Modèle de Zener

- Modèle:



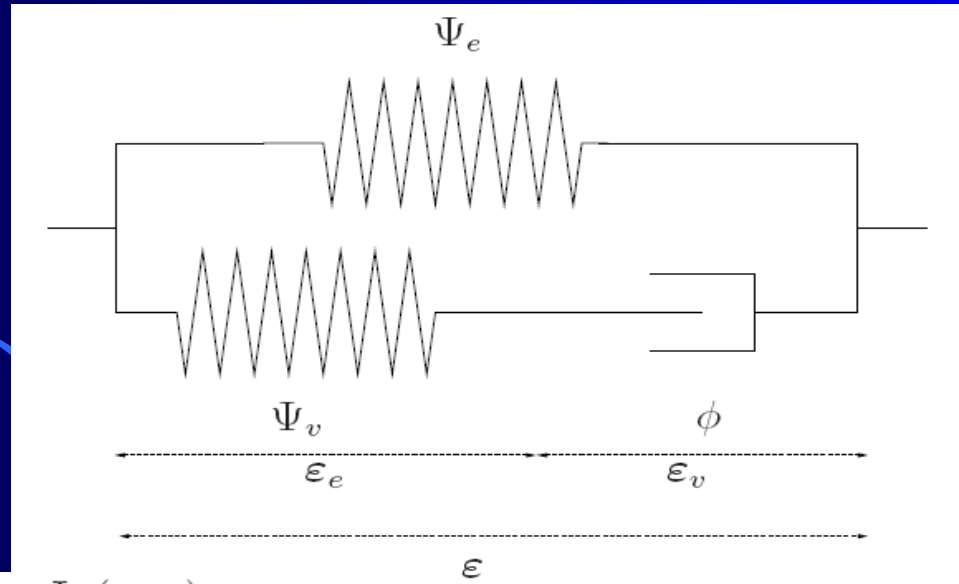
- En 3D (isotrope)

$$\left\{ \begin{array}{l} \sigma = \sigma_e + \sigma_v \\ = \lambda_e \text{Tr}(\epsilon) \mathbf{1} + 2\mu_e \epsilon + \lambda_v \text{Tr}(\epsilon - \epsilon_v) \mathbf{1} + 2\mu_v (\epsilon - \epsilon_v) \\ 0 = \Lambda \text{Tr} \dot{\epsilon}_v \mathbf{1} + 2M \dot{\epsilon}_v - \lambda_v \text{Tr}(\epsilon - \epsilon_v) \mathbf{1} + 2\mu_v (\epsilon - \epsilon_v) \end{array} \right.$$

Modèles rhéologiques en viscoélasticité

- Modèle de Zener

- Modèle:



- En 1D

$$\left\{ \begin{array}{l} \rho_0 \Psi(\varepsilon, \varepsilon_v) = \rho_0 \Psi_e(\varepsilon) + \rho_0 \Psi_v(\varepsilon, \varepsilon_v) \\ \quad = \frac{1}{2} E \varepsilon^2 + \frac{1}{2} e (\varepsilon - \varepsilon_v)^2 \\ \phi(\dot{\varepsilon}_v) = \frac{1}{2} \eta \dot{\varepsilon}_v^2 \end{array} \right.$$



$$\left\{ \begin{array}{l} \sigma = \sigma_e + \sigma_v \\ \quad = E \varepsilon + e (\varepsilon - \varepsilon_v) \\ 0 = \eta \dot{\varepsilon}_v - e (\varepsilon - \varepsilon_v) \end{array} \right.$$

$$(E + e) \left(\dot{\varepsilon} + \frac{\varepsilon}{\tau_F} \right) = \dot{\sigma} + \frac{\sigma}{\tau_R} \quad \text{avec} \quad \tau_F = \eta \frac{e + E}{E e} \quad \text{et} \quad \tau_R = \frac{\eta}{e}$$

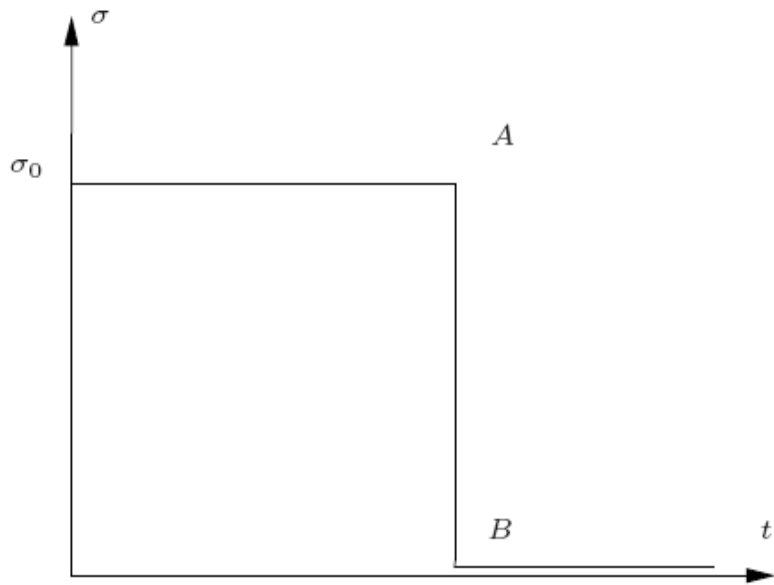
Modèles rhéologiques en viscoélasticité

- Modèle de Zener

- Réponse à un essai de fluage/recouvrance (en 1D)

$$\sigma(t) = \begin{cases} \sigma_0 & \text{si } 0 \leq t \leq T \\ 0 & \text{si } t > T \end{cases} \Rightarrow$$

?



(a) Sollicitation.

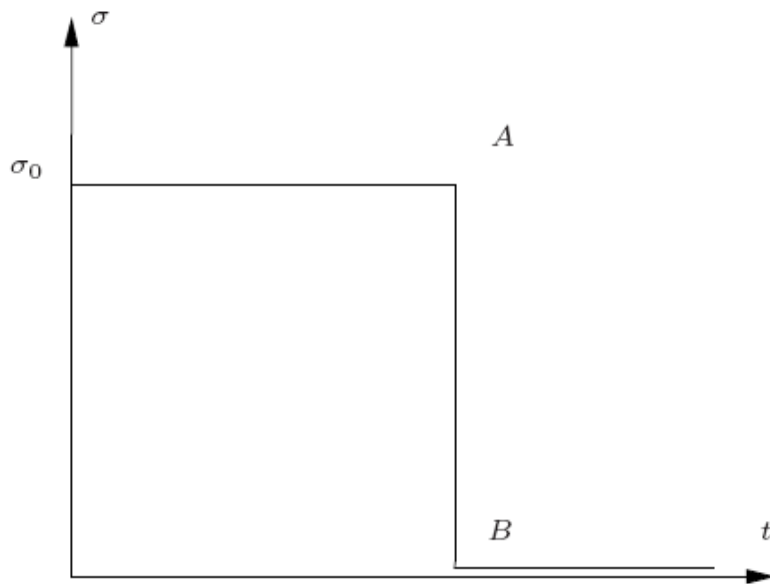
?

Modèles rhéologiques en viscoélasticité

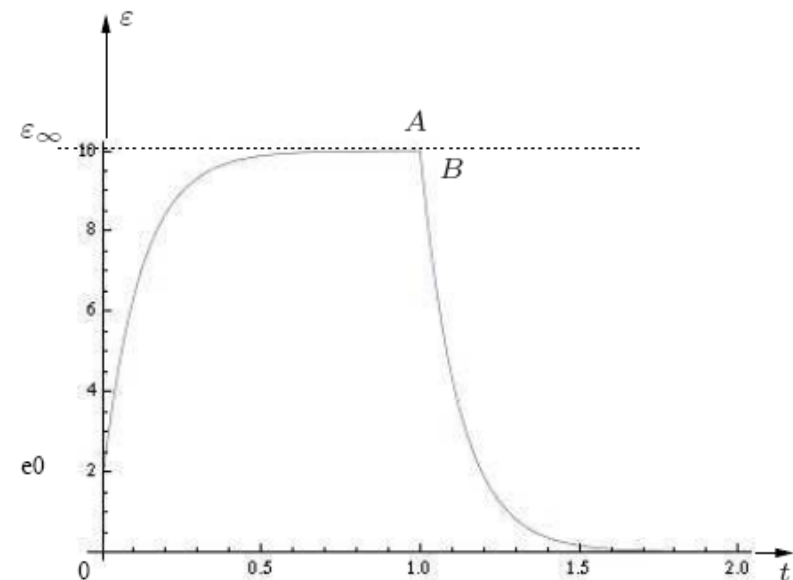
- Modèle de Zener

- Réponse à un essai de fluage/recouvrance (en 1D)

$$\sigma(t) = \begin{cases} \sigma_0 & \text{si } 0 \leq t \leq T \\ 0 & \text{si } t > T \end{cases} \Rightarrow \varepsilon(t) = \begin{cases} \frac{\sigma_0}{E} \left[1 - \frac{e}{E+e} \exp\left(-\frac{t}{\tau_F}\right) \right] & \text{si } 0 \leq t \leq T \\ \varepsilon(T) \exp\left(-\frac{t-T}{\tau_F}\right) & \text{si } t > T \end{cases}$$



(a) Sollicitation.



(b) Réponse.

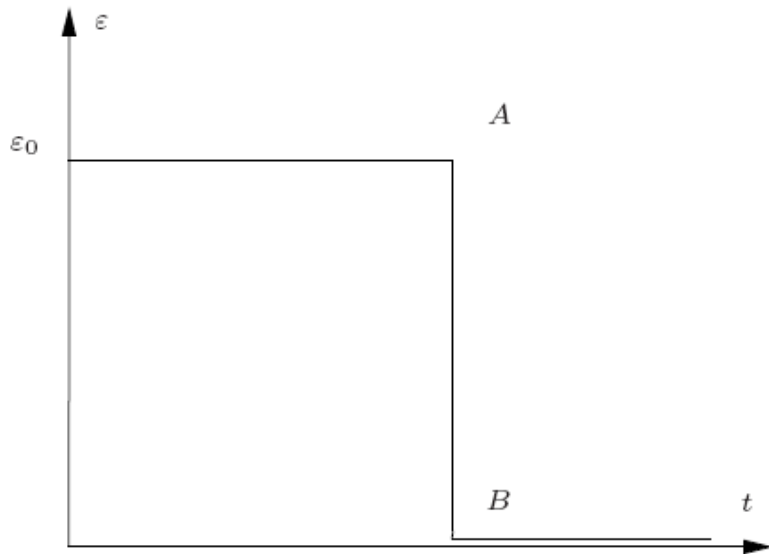
Modèles rhéologiques en viscoélasticité

- Modèle de Zener

- Réponse à un essai de relaxation/effacement

$$\varepsilon(t) = \begin{cases} \varepsilon_0 & \text{si } 0 \leq t \leq T \\ 0 & \text{si } t > T \end{cases} \Rightarrow$$

?



(a) Sollicitation.

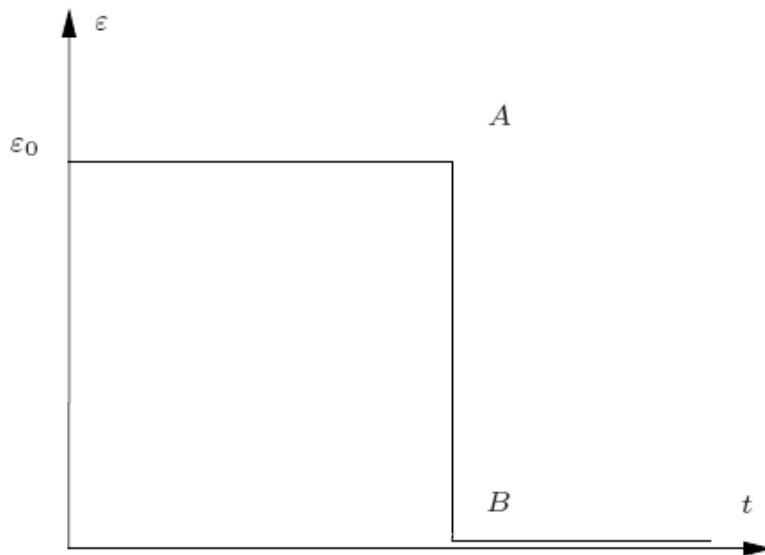
?

Modèles rhéologiques en viscoélasticité

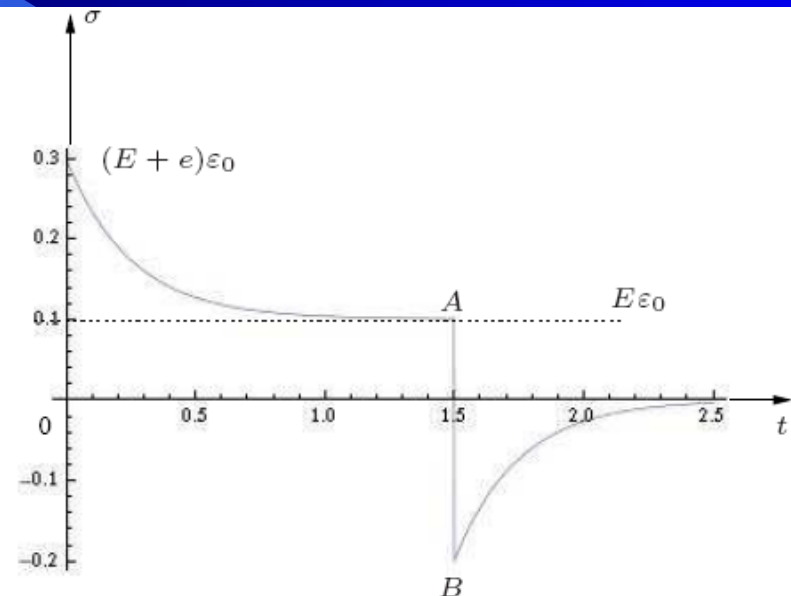
- Modèle de Zener

- Réponse à un essai de relaxation/effacement

$$\varepsilon(t) = \begin{cases} \varepsilon_0 & \text{si } 0 \leq t \leq T \\ 0 & \text{si } t > T \end{cases} \Rightarrow \sigma(t) = \begin{cases} \varepsilon_0 \left[E + e \exp\left(-\frac{t}{\tau_R}\right) \right] & \text{si } 0 \leq t \leq T \\ e \varepsilon_0 \left[\exp\left(-\frac{T}{\tau_R}\right) - 1 \right] \exp\left(-\frac{t-T}{\tau_R}\right) & \text{si } t > T \end{cases}$$



(a) Sollicitation.

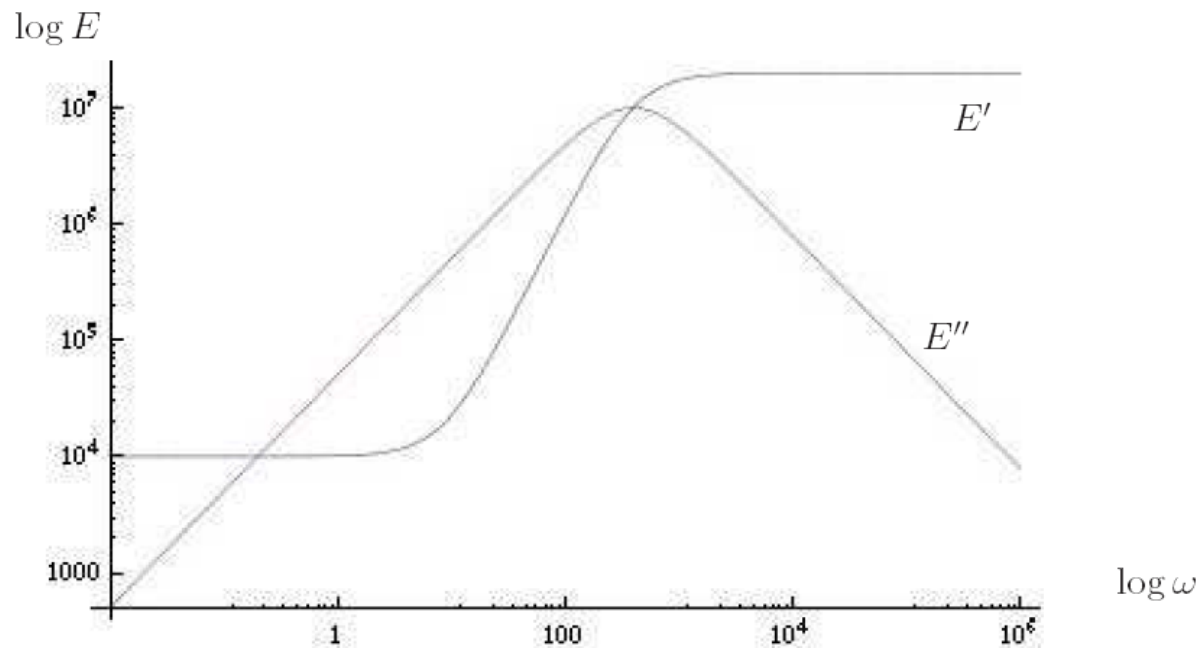


(b) Réponse.

Modèles rhéologiques en viscoélasticité

- Modèle de Zener
 - Module complexe

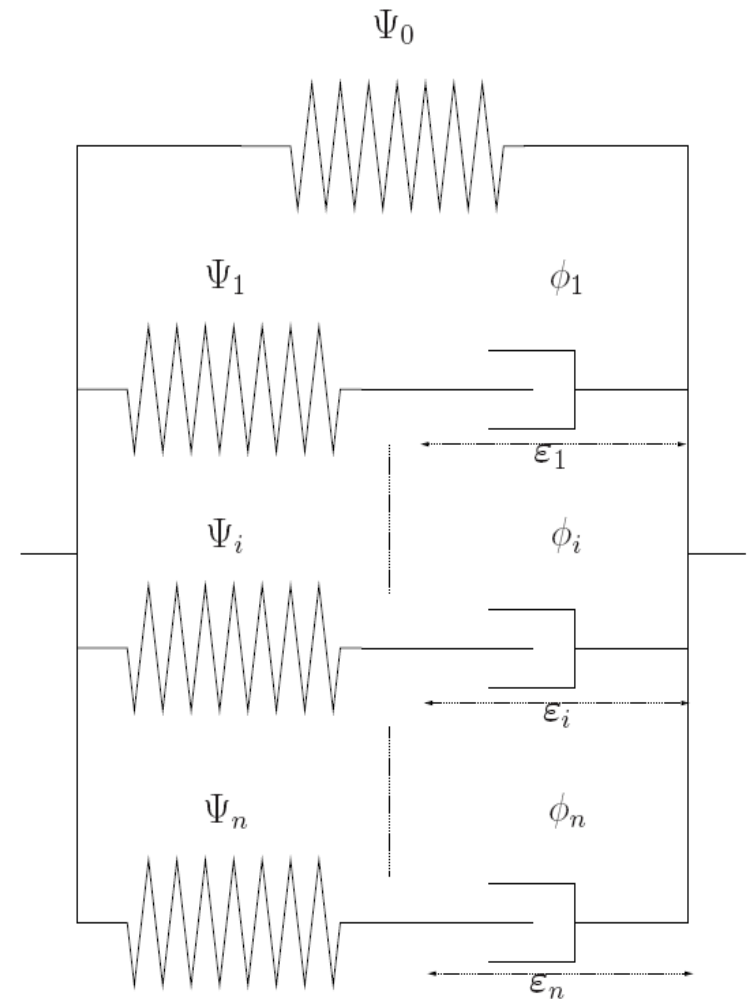
$$\text{Module complexe : } \bar{E} = \frac{\sigma_0}{\varepsilon_0} \exp(j\delta) = E' + j E'' \quad \left\{ \begin{array}{l} \text{Module de stockage: } E' = E + \frac{e \eta^2 \omega^2}{e^2 + \eta^2 \omega^2} \\ \text{Module de perte } E'' = \frac{e^2 \eta \omega}{e^2 + \eta^2 \omega^2} \end{array} \right.$$



Modèles rhéologiques en viscoélasticité

- Modèle de Maxwell généralisé (En 1D)

$$\left\{ \begin{array}{l} \rho_0 \Psi(\varepsilon, \varepsilon_1, \dots, \varepsilon_i, \dots, \varepsilon_n) = \rho_0 \Psi_0(\varepsilon) + \sum_{i=1}^n \rho_0 \Psi_i(\varepsilon, \varepsilon_i) \\ \\ = \frac{1}{2} E \varepsilon^2 + \sum_{i=1}^n \frac{1}{2} e_i (\varepsilon - \varepsilon_i)^2 \\ \\ \phi(\dot{\varepsilon}_1, \dots, \dot{\varepsilon}_i, \dots, \dot{\varepsilon}_n) = \sum_{i=1}^n \phi_i(\dot{\varepsilon}_i) \\ \\ = \sum_{i=1}^n \frac{1}{2} \eta_i \dot{\varepsilon}_i^2 \end{array} \right.$$

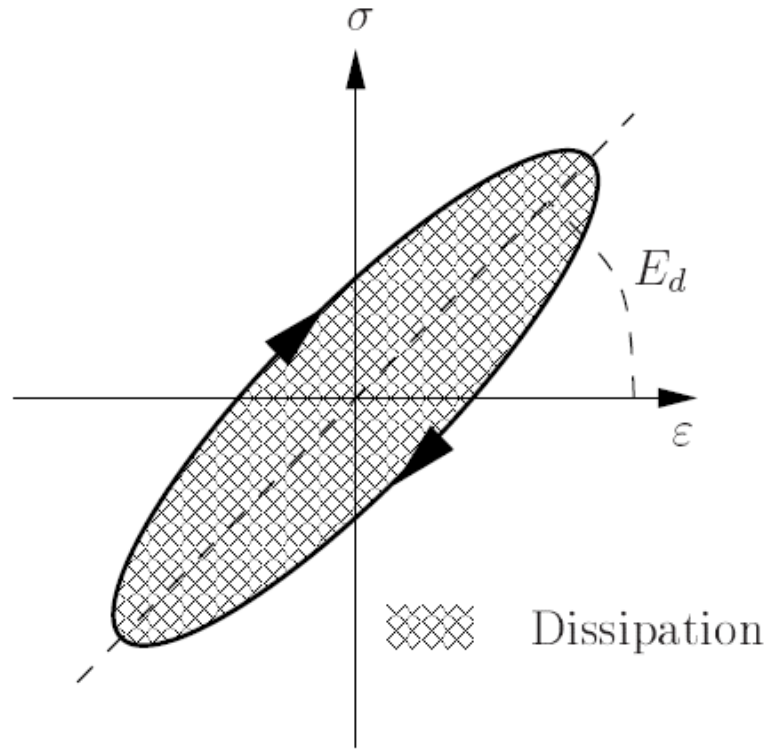


$$\left\{ \begin{array}{l} \sigma = \sigma_0 + \sum_{i=1}^n \sigma_i \\ \\ = E \varepsilon + \sum_{i=1}^n e_i (\varepsilon - \varepsilon_i) \\ \\ 0 = \eta_i \dot{\varepsilon}_i - e_i (\varepsilon - \varepsilon_i) \end{array} \right.$$

Réponse sous sollicitations harmoniques

- Généralisation

$$\varepsilon(t) = \varepsilon_0 \mathcal{R}_e [\exp(j\omega t)] \implies \sigma(t) = \sigma_0 \mathcal{R}_e [\exp(j(\omega t + \delta))]$$

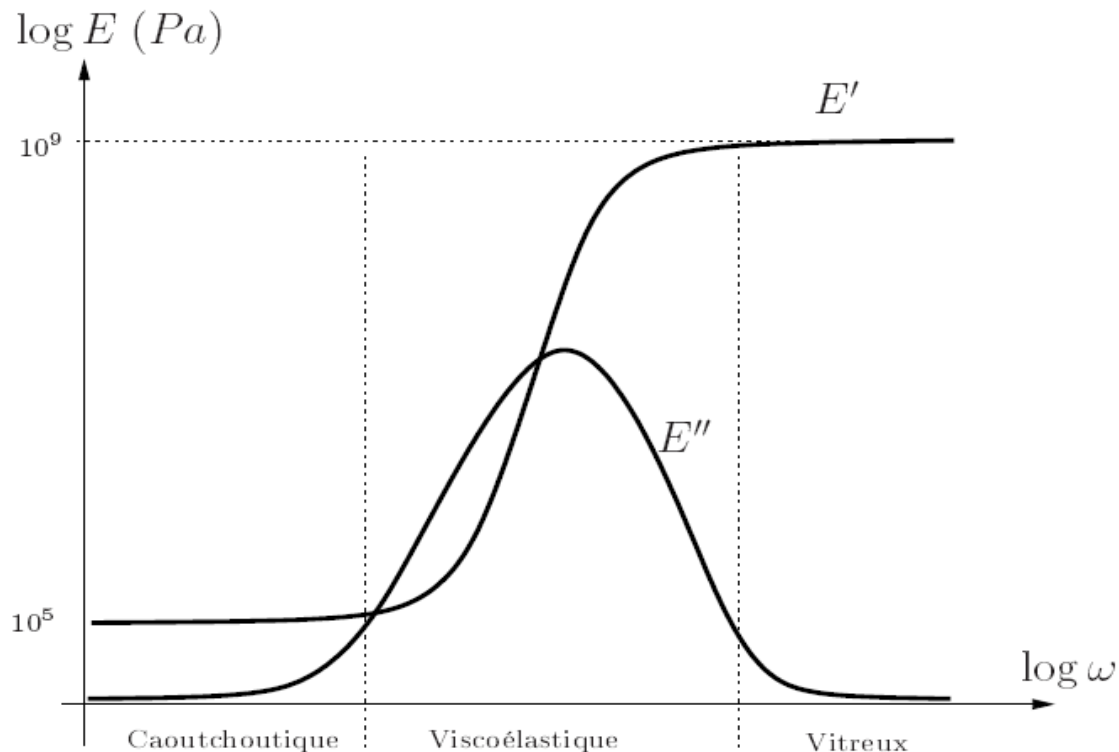


$$\begin{cases} \text{Module dynamique: } E_d = \sqrt{E'^2 + E''^2} \\ \text{Angle de perte } \delta = \arctan\left(\frac{E''}{E'}\right) \end{cases}$$

Réponse sous sollicitations harmoniques

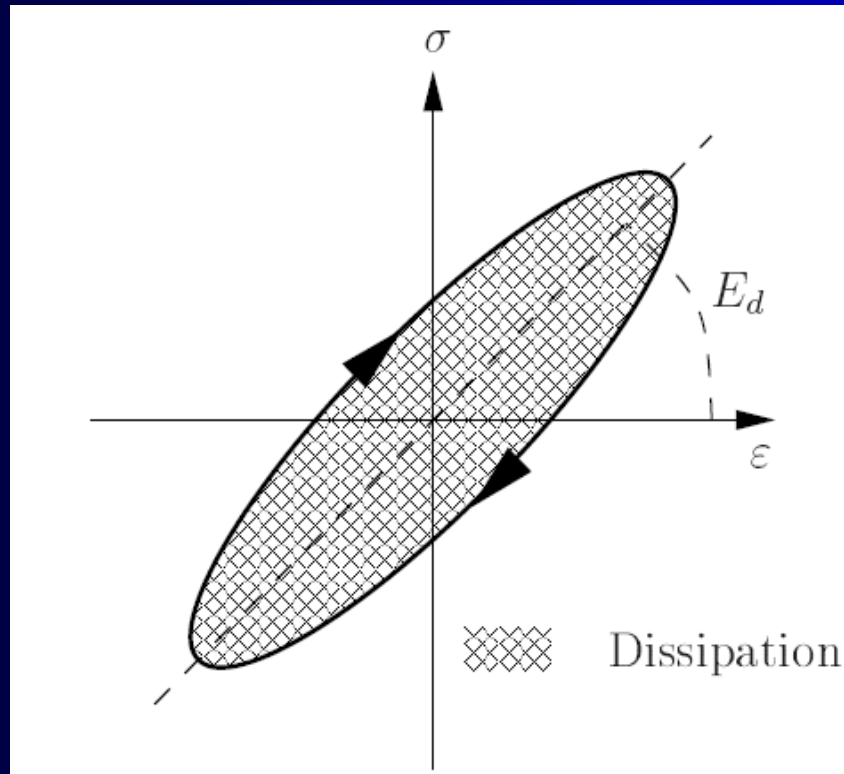
- Généralisation

$$\text{Module complexe : } \bar{E} = \frac{\sigma_0}{\varepsilon_0} \exp(j\delta) = E' + j E'' \quad \left\{ \begin{array}{l} \text{Module de stockage: } E' = \frac{\sigma_0}{\varepsilon_0} \cos \delta \\ \text{Module de perte } E'' = \frac{\sigma_0}{\varepsilon_0} \sin \delta \end{array} \right.$$



Réponse sous sollicitations harmoniques

- Généralisation



$$\Delta W = \pi E'' \varepsilon_0^2 \quad \text{et} \quad W = \frac{1}{2} E' \varepsilon_0^2$$

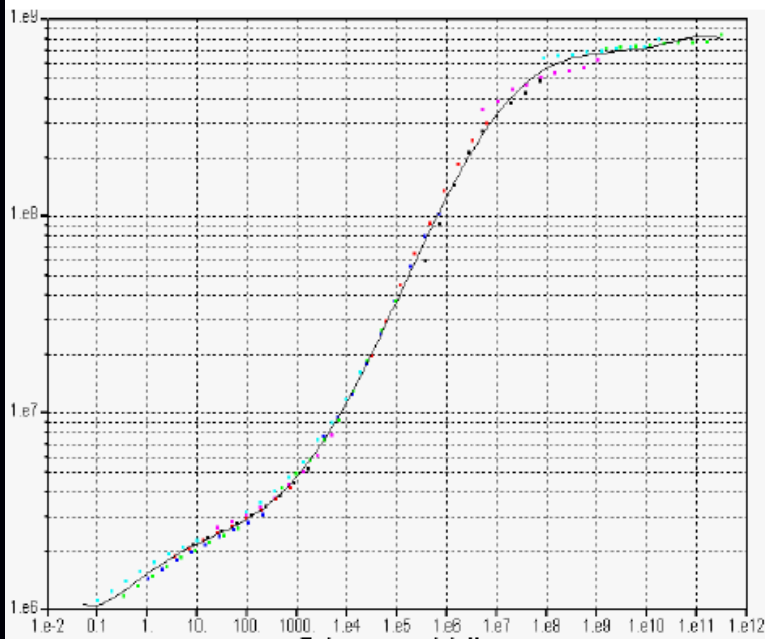
$$E' = \frac{2W}{\varepsilon_0^2}, \quad E'' = \frac{\Delta W}{\pi \varepsilon_0^2} \quad \text{et} \quad \frac{E''}{E'} = \tan \delta = \frac{\Delta W}{2\pi W}$$

Réponse sous sollicitations harmoniques

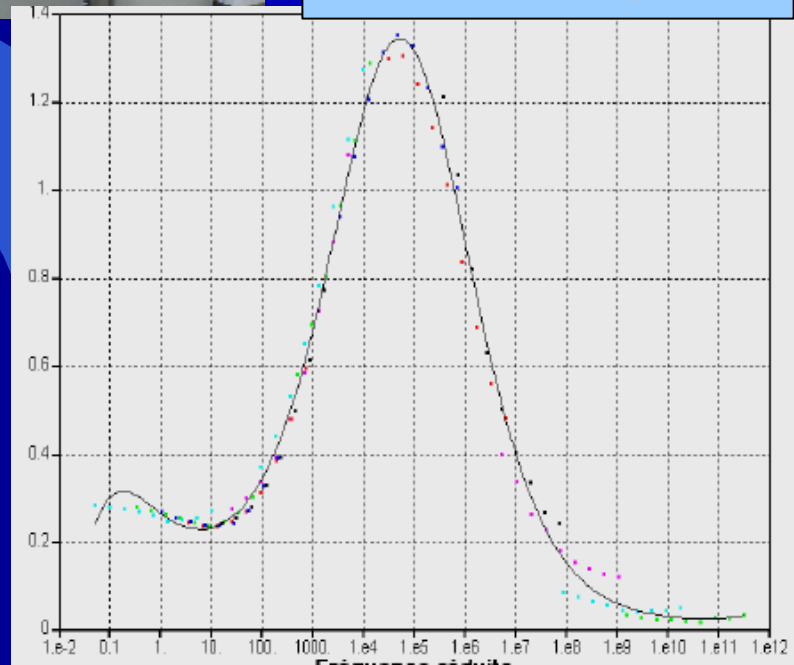
- Caractérisation



Module

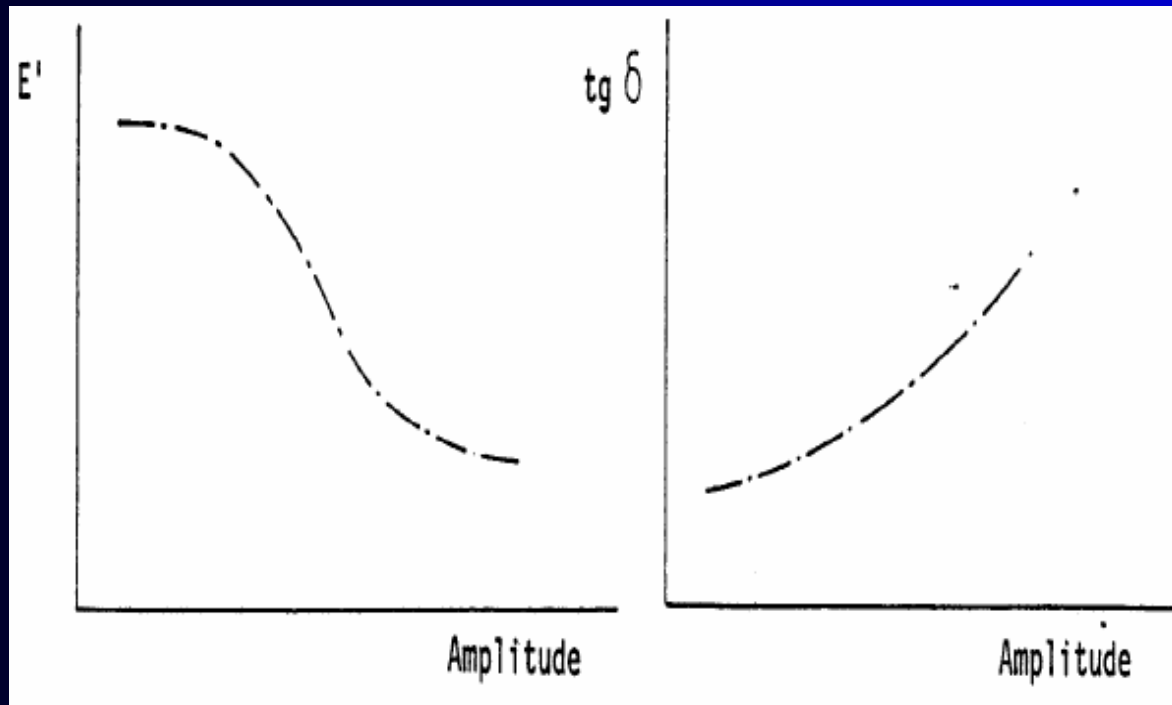


Facteur de perte



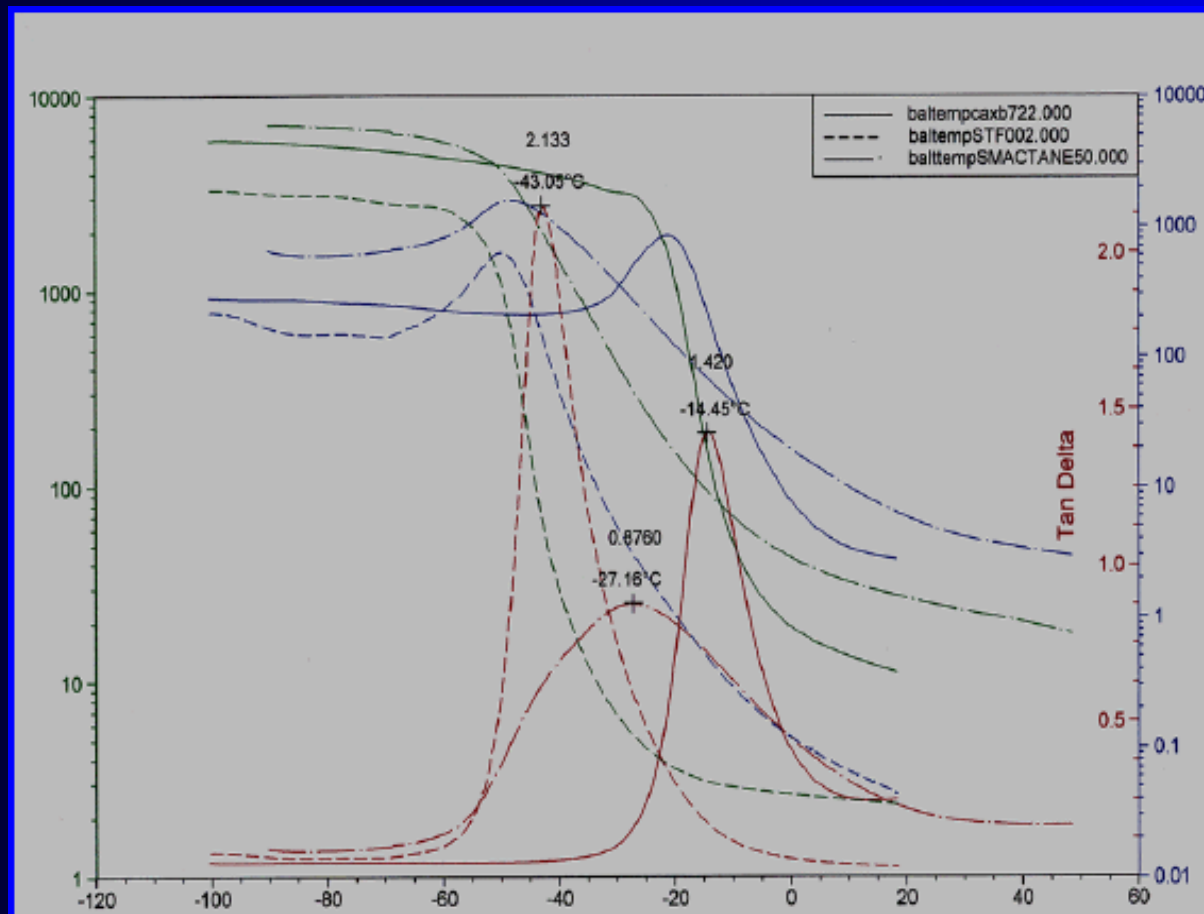
Réponse sous sollicitations harmoniques

- Influence de l'amplitude



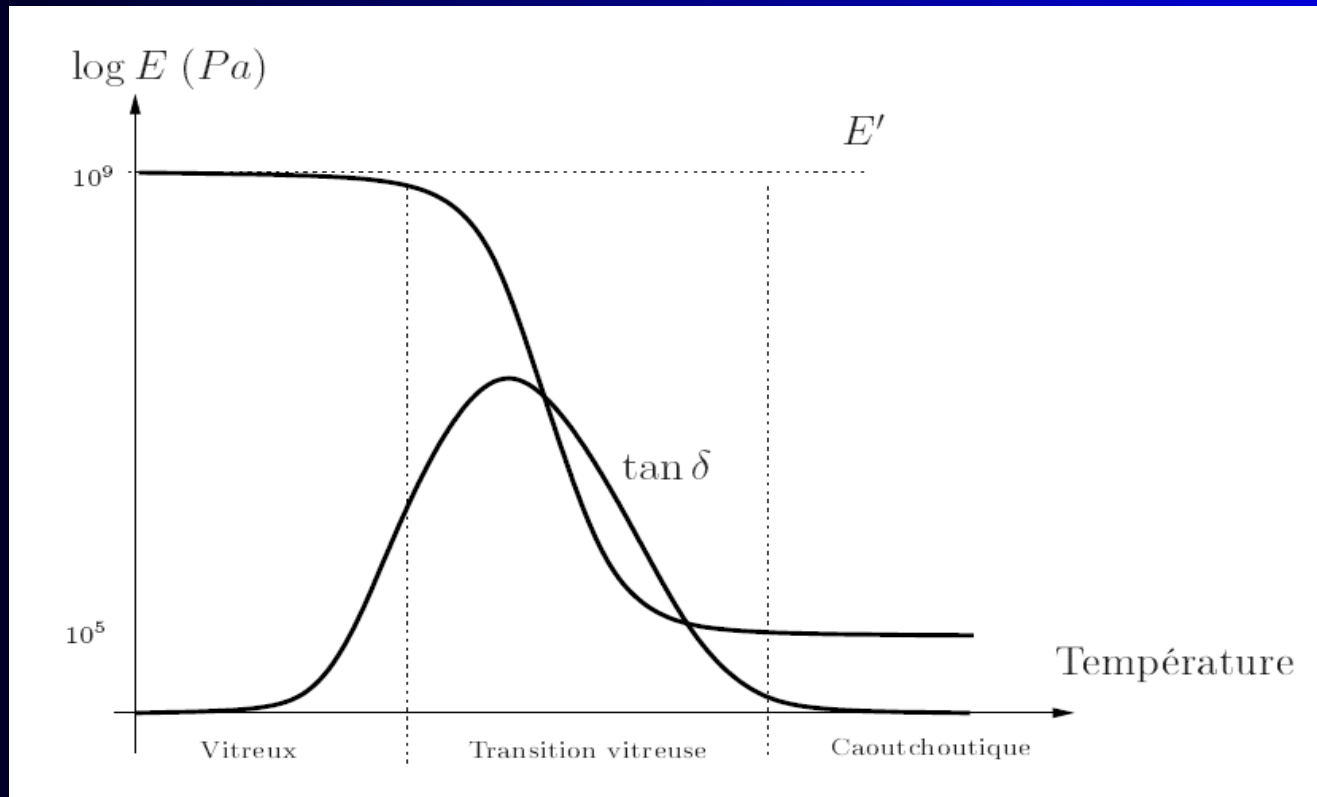
Réponse sous sollicitations harmoniques

- Influence de la température



Réponse sous sollicitations harmoniques

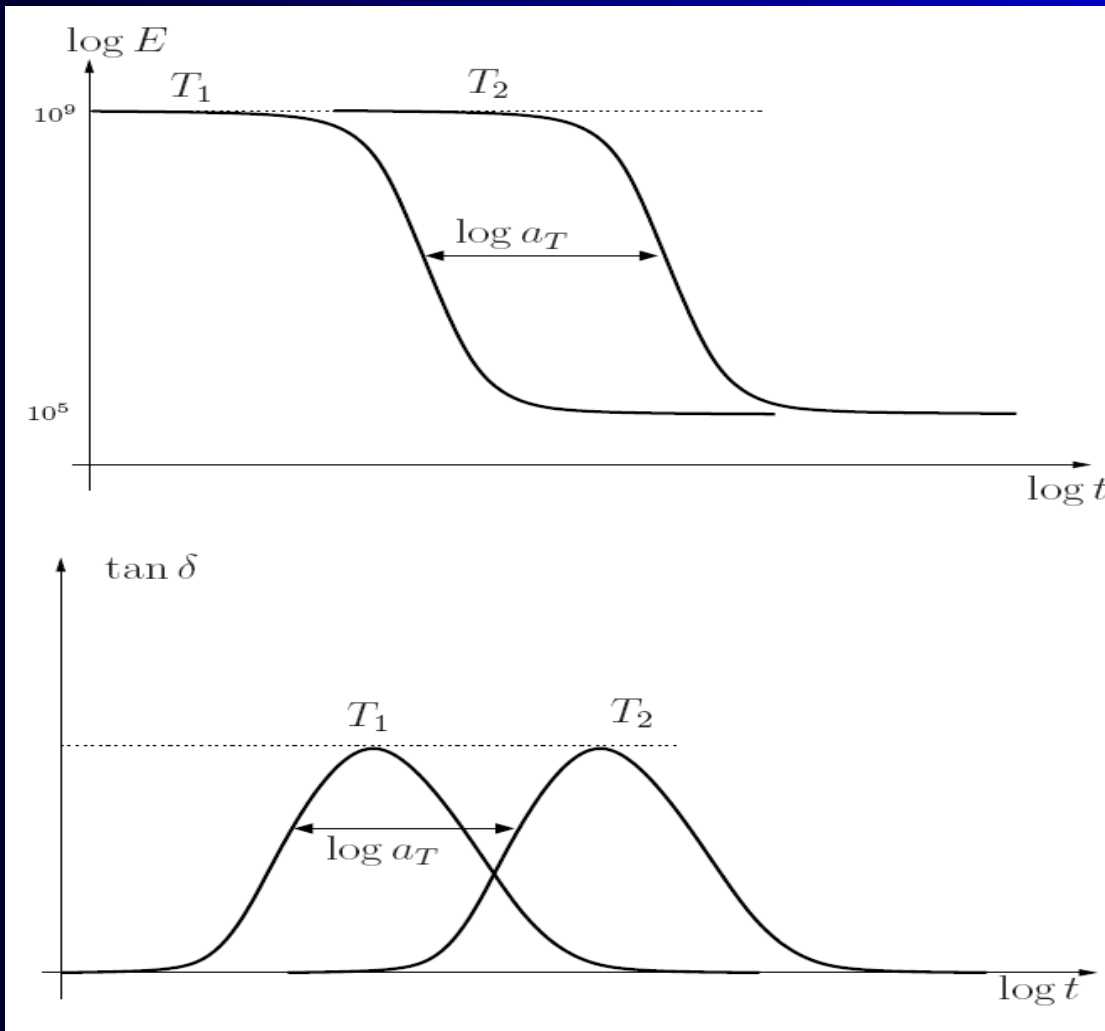
- Equivalence Temps-Température



Le comportement viscoélastique à une température donnée peut être déduit du comportement à une autre température via un changement de l'échelle du temps...

Réponse sous sollicitations harmoniques

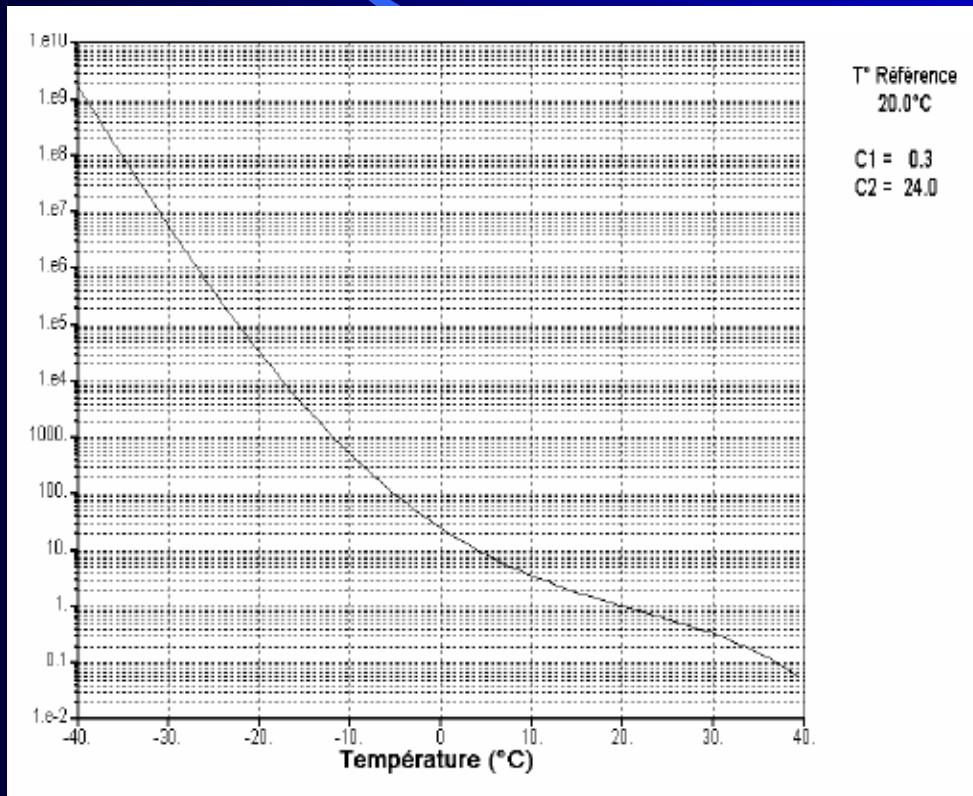
- Equivalence Temps-Température



Réponse sous sollicitations harmoniques

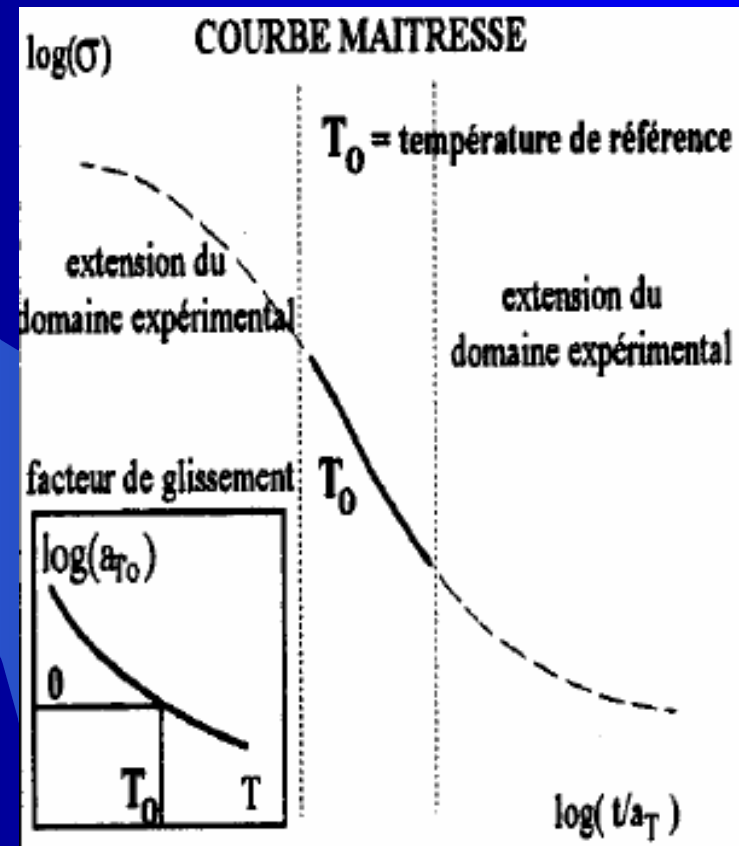
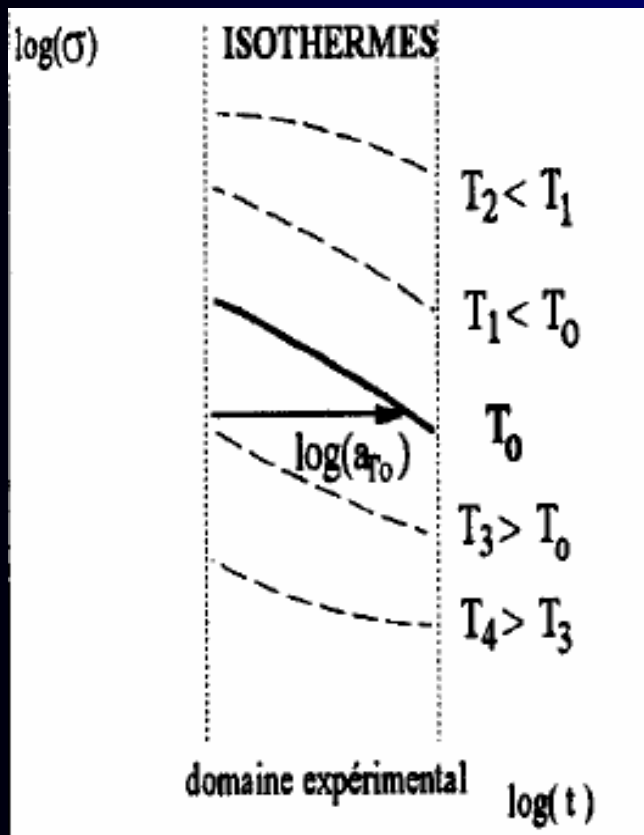
- Equivalence Temps-Température

Facteur de décalage:
$$\log a_T = \frac{C_1 (T - T_0)}{C_2 + (T - T_0)}$$



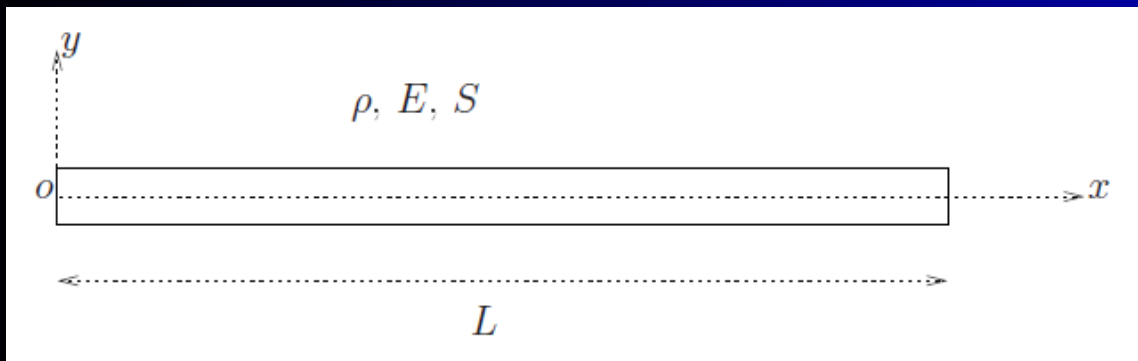
Réponse sous sollicitations harmoniques

- Equivalence Temps-Température
 - Méthodologie



Propagation d'ondes dans un milieu élastique

- Cas d'une barre élastique
 - Position du problème



$$\begin{cases} e(x, t) = \frac{\partial u}{\partial x}(x, t) \\ \frac{\partial N}{\partial x}(x, t) = \rho S \frac{\partial^2 u}{\partial t^2}(x, t) \\ N(x, t) = E S e(x, t) \\ C.L. + C.I. \end{cases}$$

Equation de propagation des ondes planes élastiques en traction:

$$\begin{cases} \frac{\partial^2 u}{\partial x^2}(x, t) - \frac{1}{c^2} \frac{\partial^2 u}{\partial t^2}(x, t) = 0 \\ C.L. + C.I. \end{cases} \quad \text{avec} \quad c = \sqrt{\frac{E}{\rho}}$$

c Célérité des ondes élastiques en traction.

Solution de la forme:

$$u(x, t) = f(x - ct) + g(x + ct)$$

- f définit les propagations d'ondes simples progressives.
- g définit les propagations d'ondes simples régressives.

Propagation d'ondes dans un milieu élastique

- Cas d'une barre élastique

- Ondes stationnaires

$$u(x, t) = X(x) Y(t)$$

$$\frac{X''(x)}{X(x)} = \frac{1}{c^2} \frac{Y''(t)}{Y(t)} = Cste \quad \text{nécessairement négative} \quad (= -k^2)$$

$$\begin{cases} X''(x) + k^2 X(x) = 0 \\ Y''(t) + \omega^2 Y(t) = 0 \\ C.L. + C.I. \end{cases} \quad \text{avec} \quad \omega = k c$$

$$\begin{cases} u(x, t) = X(x) \exp(j\omega t) \\ X(x) = A \sin(k x + \phi) \end{cases}$$

- ω est la **fréquence des vibrations propres**
- k est le **nombre d'ondes**
- $\lambda = \frac{2\pi}{k}$ est la **longueur d'ondes**

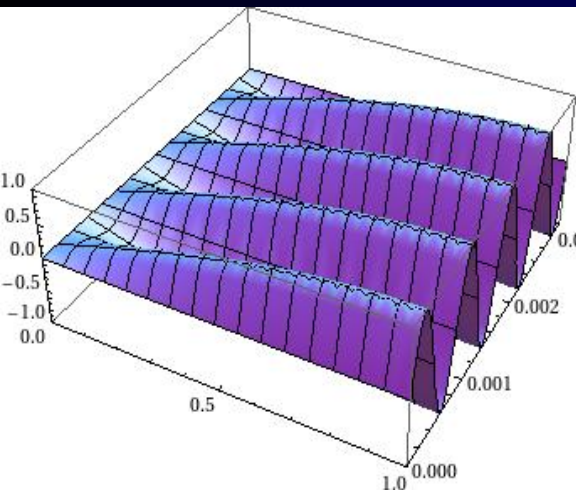
Propagation d'ondes dans un milieu élastique

- Cas d'une barre élastique

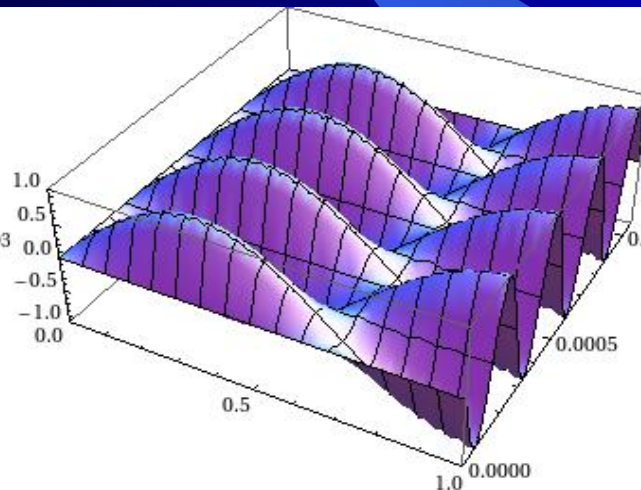
- BARRE ENCASTRÉE-LIBRE

$$u(0, t) = 0 \quad \text{et} \quad \frac{\partial u}{\partial x}(L, t) = 0$$

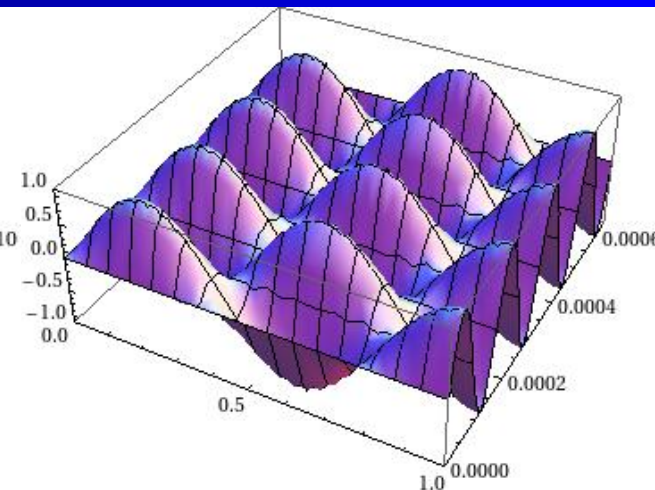
$$u_p(x, t) = \sin(k_p x) (A_p \cos(\omega_p t) + B_p \sin(\omega_p t)) \quad \begin{cases} k_p = \frac{\pi}{2L}(1 + 2p) \\ \omega_p = \frac{\pi}{2L}c(1 + 2p) = \frac{\pi}{2L}\sqrt{\frac{E}{\rho}}(1 + 2p) \end{cases} \quad p \geq 0$$



p=0



p=1



p=2

Propagation d'ondes dans un milieu élastique

- Cas d'une barre élastique

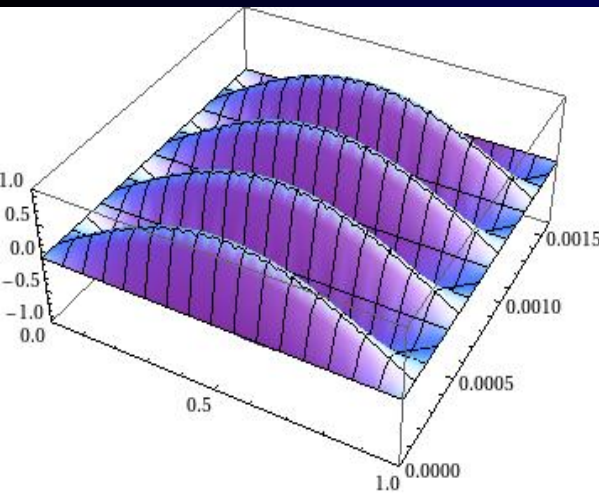
- BARRE ENCASTRÉE-ENCASTRÉE

$$u(0, t) = 0$$

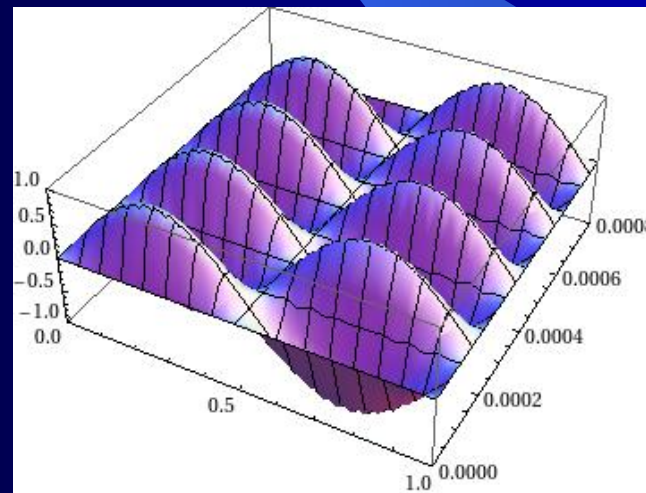
et

$$u(L, t) = 0$$

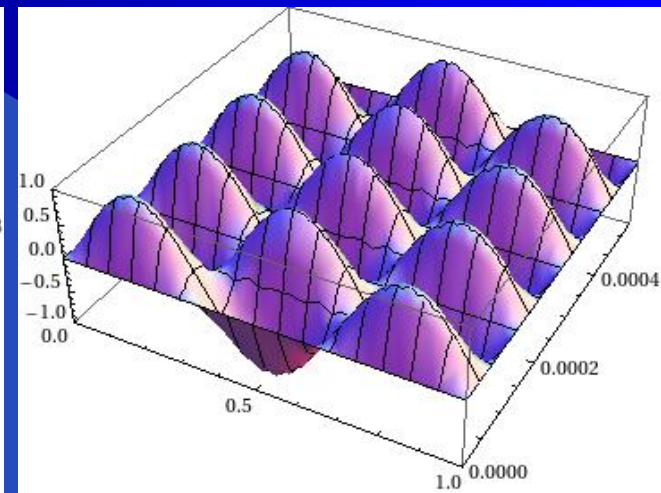
$$u_p(x, t) = \sin(k_p x) (A_p \cos(\omega_p t) + B_p \sin(\omega_p t)) \quad \begin{cases} k_p = p \frac{\pi}{L} \\ \omega_p = p \frac{\pi}{L} c = p \frac{\pi}{L} \sqrt{\frac{E}{\rho}} \end{cases} \quad p \geq 1$$



p=1



p=2



p=3

Propagation d'ondes dans un milieu visco-élastique

- Cas d'une barre visco-élastique
 - Position du problème

En considérant le **modèle visco-élastique de KELVIN-VOIGT**:

$$\left\{ \begin{array}{l} e(x,t) = \frac{\partial u}{\partial x}(x,t) \\ \frac{\partial N}{\partial x}(x,t) = \rho S \frac{\partial^2 u}{\partial t^2}(x,t) \\ N(x,t) = E S \left(e(x,t) + \tau \frac{\partial e}{\partial t}(x,t) \right) \\ C.L. + C.I. \end{array} \right.$$

Equation de propagation des ondes planes en traction:

$$\left\{ \begin{array}{l} \frac{\partial^2 u}{\partial x^2}(x,t) + \tau \frac{\partial^3 u}{\partial x^2 \partial t}(x,t) - \frac{1}{c^2} \frac{\partial^2 u}{\partial t^2}(x,t) = 0 \\ C.L. + C.I. \end{array} \right. \quad \text{avec} \quad c = \sqrt{\frac{E}{\rho}} \quad \text{et} \quad \tau = \frac{\eta}{E}$$

c Célérité des ondes élastiques en traction.

τ temps caractéristique de retard.

Propagation d'ondes dans un milieu visco-élastique

- Cas d'une barre élastique
 - Ondes stationnaires

$$u(x, t) = X(x) Y(t)$$



$$\frac{X''(x)}{X(x)} = \frac{1}{c^2} \frac{Y''(t)}{Y(t) + \tau Y'(t)} = -k^2$$

$$\begin{cases} X''(x) + k^2 X(x) = 0 \\ Y''(t) + \omega^2 (\tau Y'(t) + Y(t)) = 0 \\ C.L. + C.I. \end{cases} \quad \text{avec } \omega = k c$$

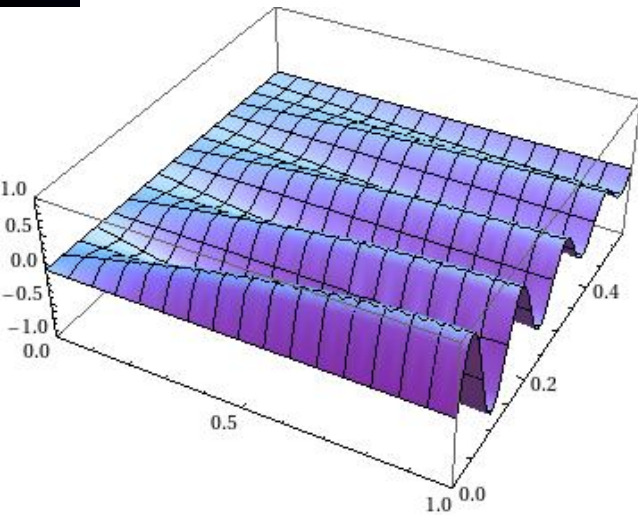
$$\begin{cases} X(x) = A \sin(k x + \phi) \\ Y(t) = e^{-r t} (B \cos(\bar{\omega} t) + C \sin(\bar{\omega} t)) \end{cases} \quad \text{si } \omega \tau < 2 \quad \text{avec} \quad \begin{cases} r = \frac{\omega^2 \tau}{2} \\ \bar{\omega} = \frac{\omega}{2} \sqrt{4 - \tau^2 \omega^2} \end{cases}$$

Propagation d'ondes dans un milieu visco-élastique

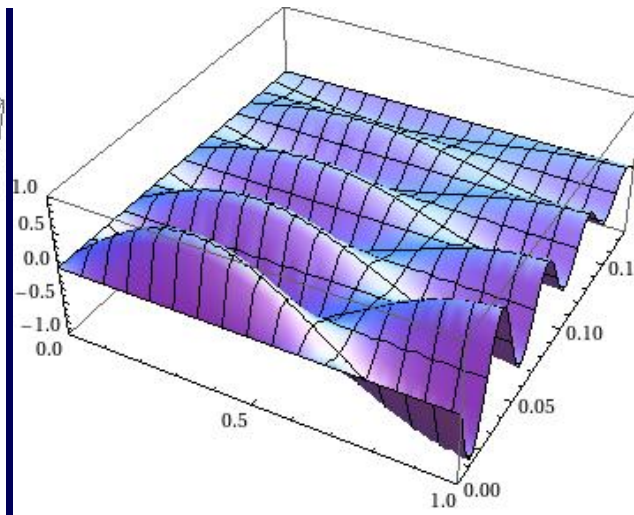
• BARRE ENCASTRÉE-LIBRE

$$u(0, t) = 0 \quad \text{et} \quad \frac{\partial u}{\partial x}(L, t) = 0$$

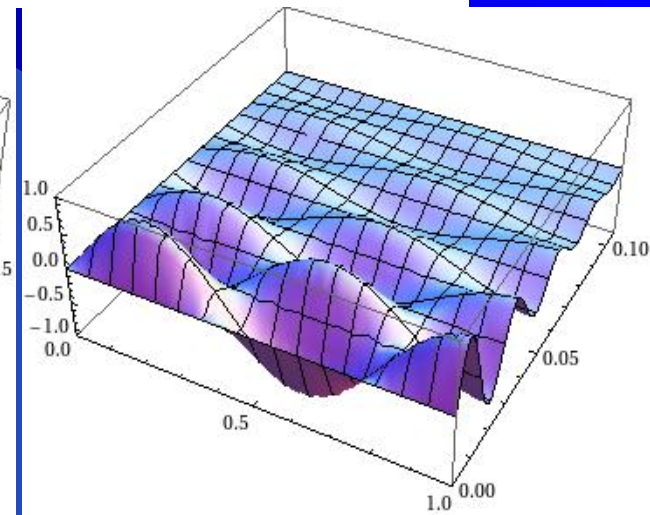
$$u_p(x, t) = \sin(k_p x) \left[e^{-r_p t} (B_p \cos(\bar{\omega}_p t) + C_p \sin(\bar{\omega}_p t)) \right] \quad \left\{ \begin{array}{l} k_p = \frac{\pi}{2L} (1 + 2p) \\ \omega_p = \frac{\pi}{2L} c (1 + 2p) \\ r_p = \frac{\omega_p^2 \tau}{2} \\ \bar{\omega}_p = \frac{\omega_p}{2} \sqrt{4 - \tau^2 \omega_p^2} \end{array} \right. \quad p \geq 0$$



p=0



p=1



p=2

Propagation d'ondes dans un milieu visco-élastique

• BARRE ENCASTRÉE-ENCASTRÉE

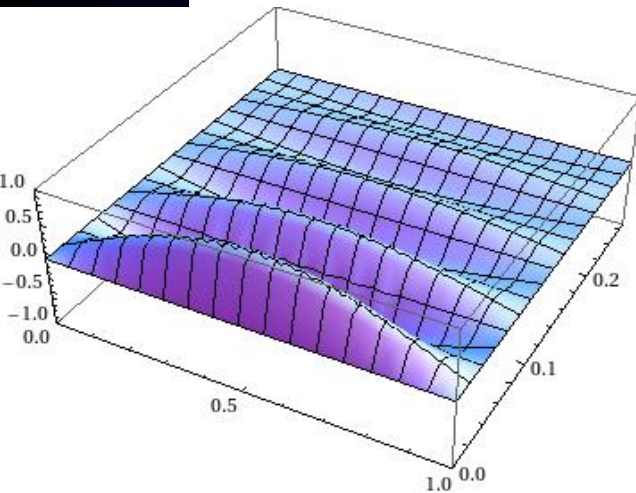
$$u(0, t) = 0$$

et

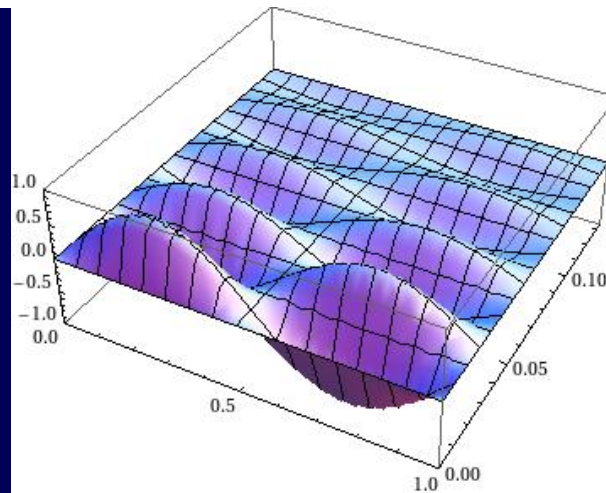
$$u(L, t) = 0$$

$$u_p(x, t) = \sin(k_p x) \left[e^{-r_p t} (B_p \cos(\bar{\omega}_p t) + C_p \sin(\bar{\omega}_p t)) \right]$$

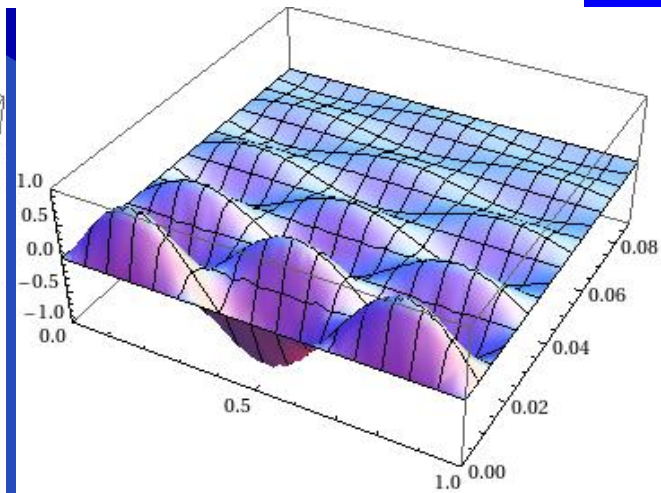
$$\left\{ \begin{array}{l} k_p = p \frac{\pi}{L} \\ \omega_p = p \frac{\pi}{L} c \\ r_p = \frac{\omega_p^2 \tau}{2} \\ \bar{\omega}_p = \frac{\omega_p}{2} \sqrt{4 - \tau^2 \omega_p^2} \end{array} \right. \quad p \geq 1$$



p=1



p=2



p=3

Propagation d'ondes dans un milieu élastique

- Cas tridimensionnel

Sous l'H.P.P. les équations du mouvement en déplacement, pour un solide élastique:

$$\rho \frac{\partial^2 u_i}{\partial t^2} = \mu u_{i,jj} + (\lambda + \mu) u_{k,ki}$$

$$\rho \frac{\partial^2 \mathbf{u}}{\partial t^2} = \mu \Delta \mathbf{u} + (\lambda + \mu) \nabla (\operatorname{div} \mathbf{u}) = (\lambda + 2\mu) \nabla (\operatorname{div} \mathbf{u}) - \mu \operatorname{rot} \operatorname{rot} \mathbf{u}$$

$$\frac{\partial^2 \mathbf{u}}{\partial t^2} - c_l^2 \nabla (\operatorname{div} \mathbf{u}) + c_t^2 \operatorname{rot} \operatorname{rot} \mathbf{u} = \mathbf{0} \quad \text{avec} \quad \begin{cases} c_l = \sqrt{\frac{\lambda + 2\mu}{\rho}} \\ c_t = \sqrt{\frac{\mu}{\rho}} \end{cases}$$

- c_l célérité des ondes longitudinales.
- c_t célérité des ondes transversales.

Propagation d'ondes dans un milieu élastique

- Cas tridimensionnel

• **Ondes planes** *Le mouvement s'effectue par ondes planes dans la direction \mathbf{e}_1 si les déplacements \mathbf{u} sont indépendants de x_2 et x_3 .*

Les composantes de \mathbf{u} sont solutions de:

$$\begin{cases} \frac{\partial^2 u_1}{\partial x_1^2}(x, t) - \frac{1}{c_l^2} \frac{\partial^2 u_1}{\partial t^2}(x, t) = 0 \\ \frac{\partial^2 u_2}{\partial x_1^2}(x, t) - \frac{1}{c_t^2} \frac{\partial^2 u_2}{\partial t^2}(x, t) = 0 \\ \frac{\partial^2 u_3}{\partial x_1^2}(x, t) - \frac{1}{c_t^2} \frac{\partial^2 u_3}{\partial t^2}(x, t) = 0 \end{cases}$$

Propagation d'ondes dans un milieu visco-élastique de Kelvin-Voigt

- Cas tridimensionnel

$$\rho \frac{\partial^2 u_i}{\partial t^2} = \mu (u_{i,jj} + \tau u_{i,jjt}) + (\lambda + \mu)(u_{k,ki} + \tau u_{k,kit})$$

$$\rho \frac{\partial^2 \mathbf{u}}{\partial t^2} = (\lambda + 2\mu) \nabla \left(\operatorname{div} \left(\mathbf{u} + \tau \frac{\partial \mathbf{u}}{\partial t} \right) \right) - \mu \operatorname{rot} \operatorname{rot} \left(\mathbf{u} + \tau \frac{\partial \mathbf{u}}{\partial t} \right)$$

$$\frac{\partial^2 \mathbf{u}}{\partial t^2} - c_l^2 \nabla \left(\operatorname{div} \left(\mathbf{u} + \tau \frac{\partial \mathbf{u}}{\partial t} \right) \right) + c_t^2 \operatorname{rot} \operatorname{rot} \left(\mathbf{u} + \tau \frac{\partial \mathbf{u}}{\partial t} \right) = 0$$

$$\begin{cases} c_l = \sqrt{\frac{\lambda + 2\mu}{\rho}} \\ c_t = \sqrt{\frac{\mu}{\rho}} \end{cases}$$